

CD-MPM Continuum Damage Material Point Methods for Dynamic Fracture Animation

Siggraph 2019

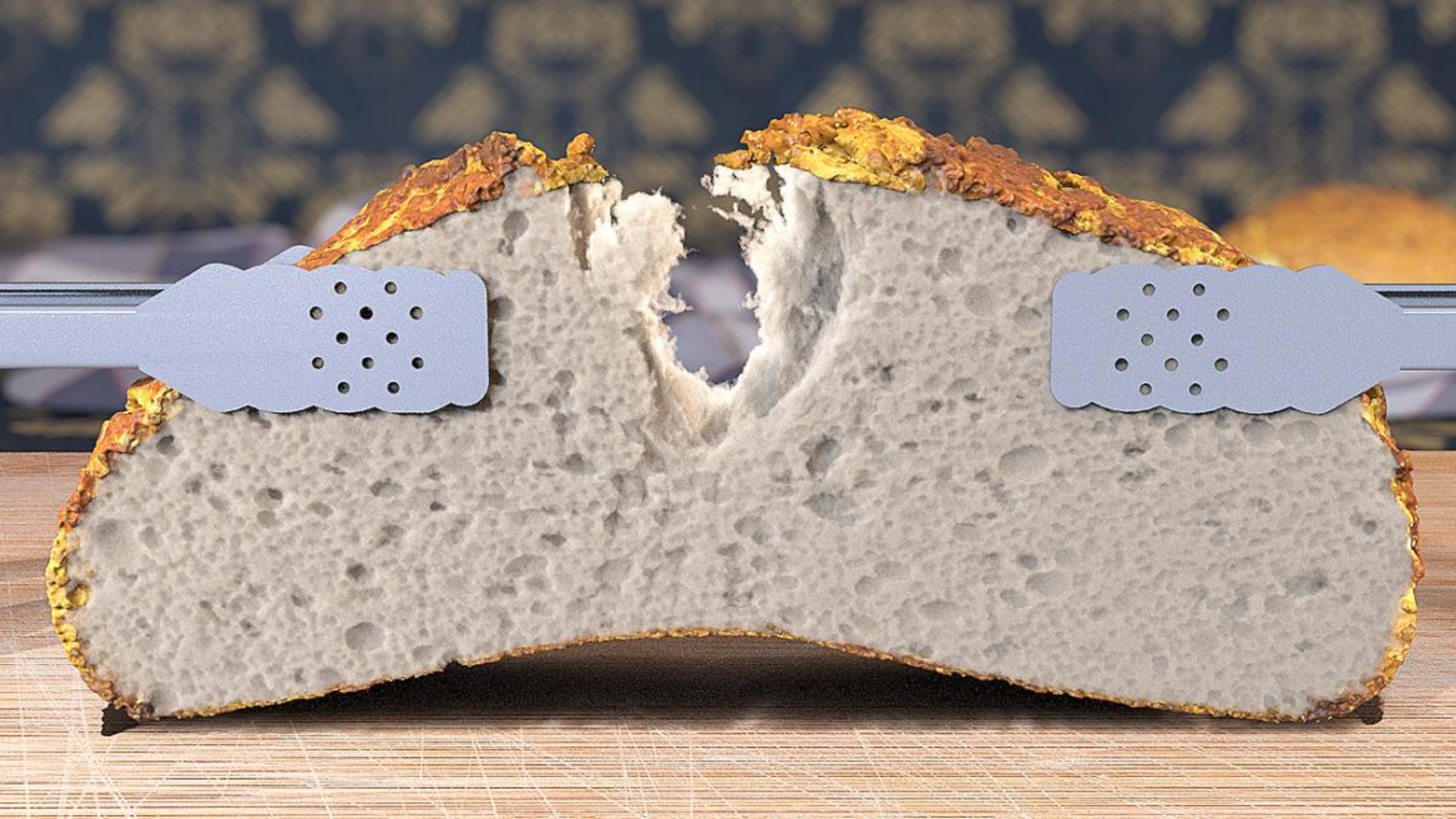
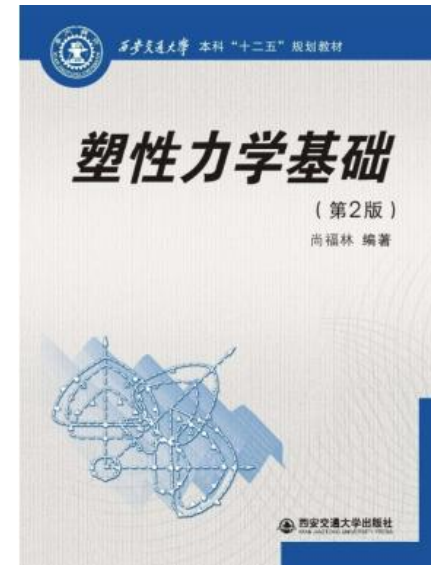


Table of Contents

- 1 Deformation
- 2 Hyperelastic
- 3 Plasticity
- 4 MLS-MPM
- 5 Fracture
- 6 Result



Author

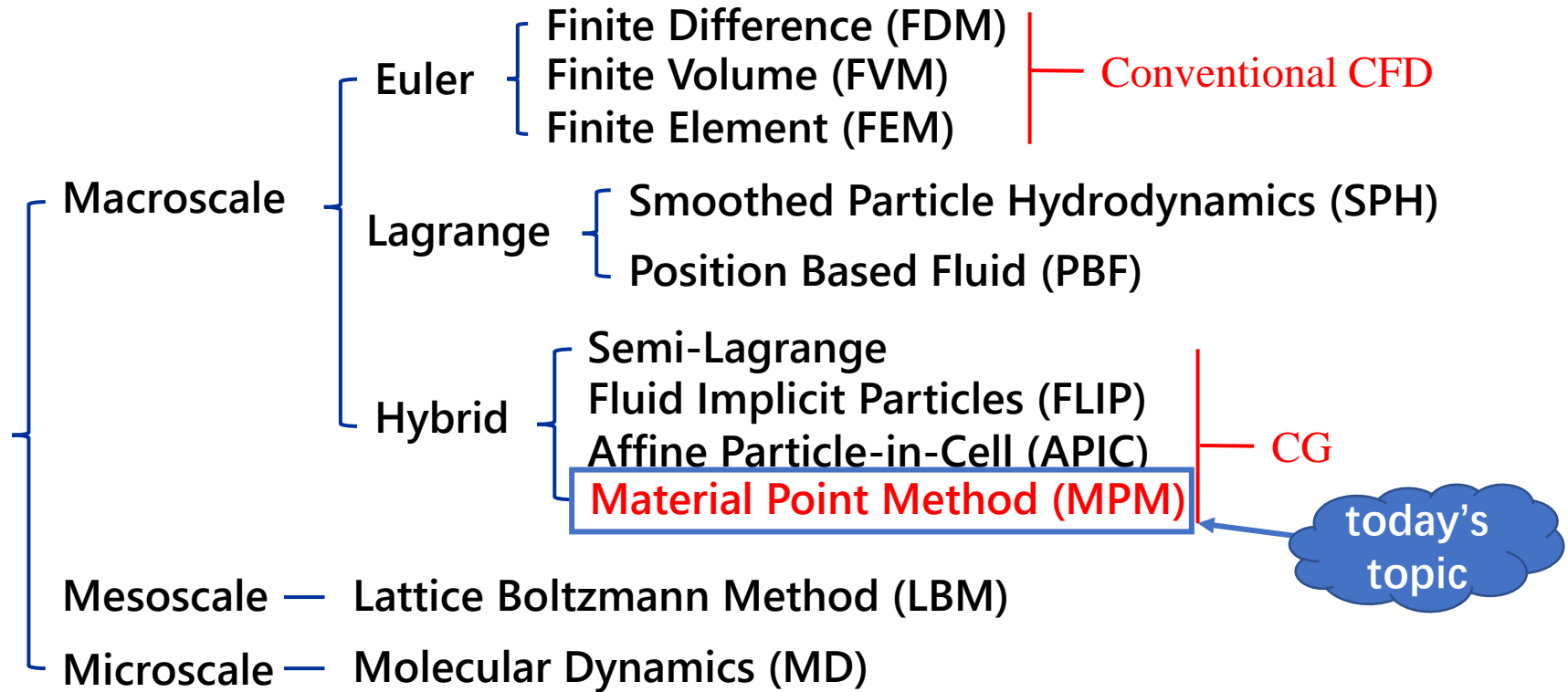
- 老熟人

:  Joshuah Wolper,  Yu Fang,  Minchen Li,  Jiecong Lu,  Ming Gao,  Chenfanfu Jiang

~~Fluid~~ Simulation in Computer Graphics

Continuum

~~Fluid~~
Continuum



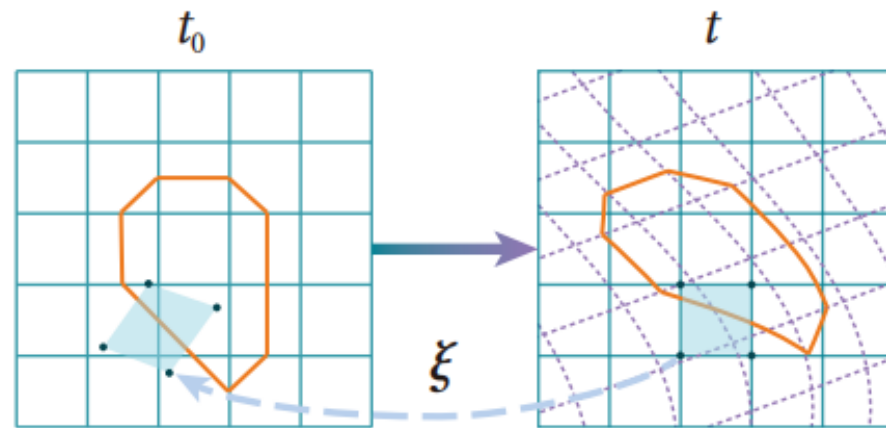
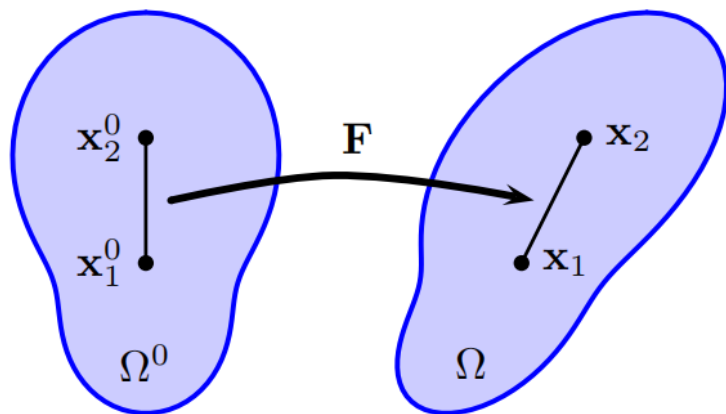
Section 1.

Deformation

Deformation

- 如何形式化定义形变?
- 假设无形变空间是 \mathbf{X} , 形变空间是 \mathbf{x} , 那么形变就是 $\phi(\mathbf{X}, t): \Omega^0 \rightarrow \Omega^t$, 即 $\mathbf{x} = \mathbf{x}(\mathbf{X}, t) = \phi(\mathbf{X}, t)$
- 例如, 对于刚体形变, $\mathbf{x} = \mathbf{R}\mathbf{X} + \mathbf{b}$
- 定义形变梯度表示任意时刻形变的雅可比矩阵:

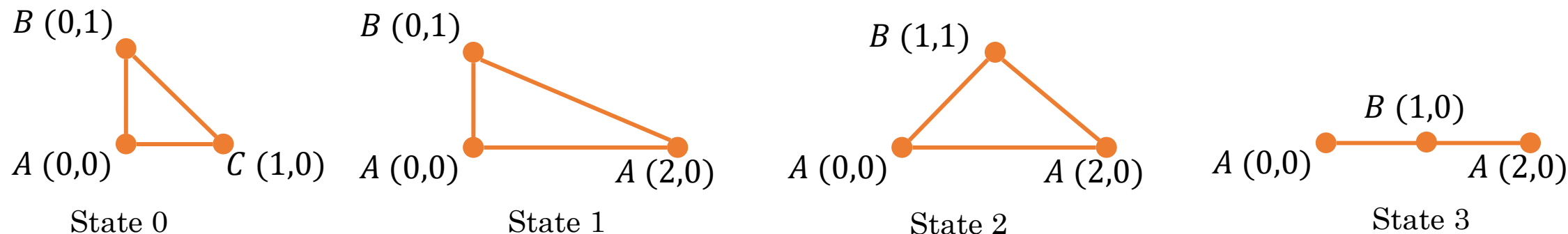
$$\mathbf{F}(\mathbf{X}, t) = \frac{\partial \phi}{\partial \mathbf{X}}(\mathbf{X}, t) = \frac{\partial \mathbf{x}}{\partial \mathbf{X}}(\mathbf{X}, t)$$



Deformation

- 形变梯度的行列式记为 J ，表示了体积变化
 - $J > 1$ 表示体积增加, $J < 1$ 表示体积减小
 - 对于刚体形变, $\mathbf{x} = \mathbf{R}\mathbf{X} + \mathbf{b}$, $\mathbf{F} = \mathbf{R}$, 则 $J = 1$ 。说明刚体形变不影响体积, 很合理。
- 实际上, ϕ 建立起了Euler视角和Lagrange视角之间的联系
 - $\mathbf{X} = \phi^{-1}(\mathbf{x}, t)$, 假设 ϕ 双射
 - $\mathbf{v}(\mathbf{x}, t)$ 表示当前点 \mathbf{x} 当下的速度, $\mathbf{v}(\mathbf{x}, t) = \mathbf{V}(\phi^{-1}(\mathbf{x}, t), t)$: ϕ^{-1} 找到了 \mathbf{x} 初始对应点 \mathbf{X}
 - $\mathbf{V}(\mathbf{X}, t)$ 表示初始点 \mathbf{X} 当下的速度, $\mathbf{V}(\mathbf{X}, t) = \mathbf{v}(\phi(\mathbf{X}, t), t)$: ϕ 找到了初始点 \mathbf{X} 的当前位置
 - 对于其他物理量, 有类似的性质
- 物质导数
 - $\frac{D}{Dt} f(\mathbf{x}, t) = \frac{\partial f}{\partial t}(\mathbf{x}, t) + \sum_j \frac{\partial f}{\partial x_j}(\mathbf{x}, t) v_j(\mathbf{x}, t)$
 - 分成当地导数和迁移导数两部分

Example



已知如上四个状态，如何求State 1、2、3的形变梯度？

考虑 $d\mathbf{x} = \mathbf{F}d\mathbf{X}$ ，在一个三角形微元内，可以认为形变遵循坐标变换

因此构造两个状态的基坐标系 \mathbf{A}, \mathbf{B} ，则 $\mathbf{B}\mathbf{A}^{-1}$ 就是目标形变梯度。

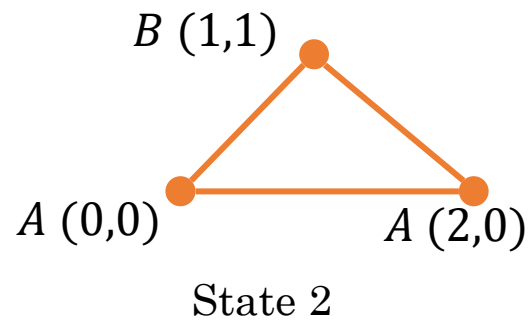
$$\mathbf{A} = \begin{bmatrix} 1 & 0 \\ 0 & 1 \end{bmatrix}$$

$$\mathbf{B}_1 = \mathbf{F} = \begin{bmatrix} 2 & 0 \\ 0 & 1 \end{bmatrix}$$
$$J = 2$$

$$\mathbf{B}_2 = \mathbf{F} = \begin{bmatrix} 2 & 1 \\ 0 & 1 \end{bmatrix}$$
$$J = 2$$

$$\mathbf{B}_3 = \mathbf{F} = \begin{bmatrix} 2 & 1 \\ 0 & 0 \end{bmatrix}$$
$$J = 0$$

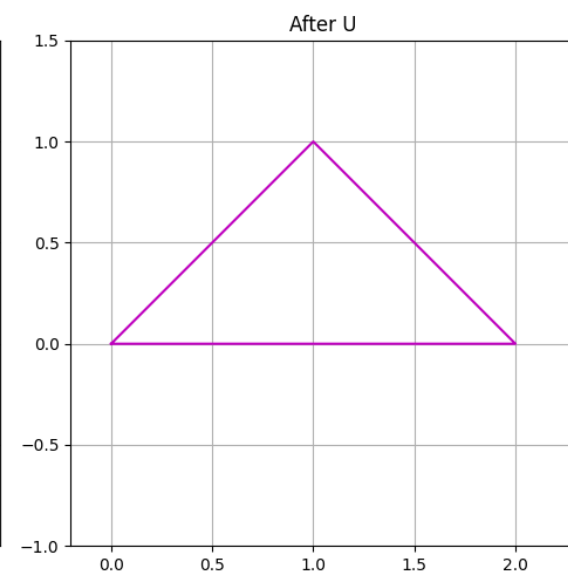
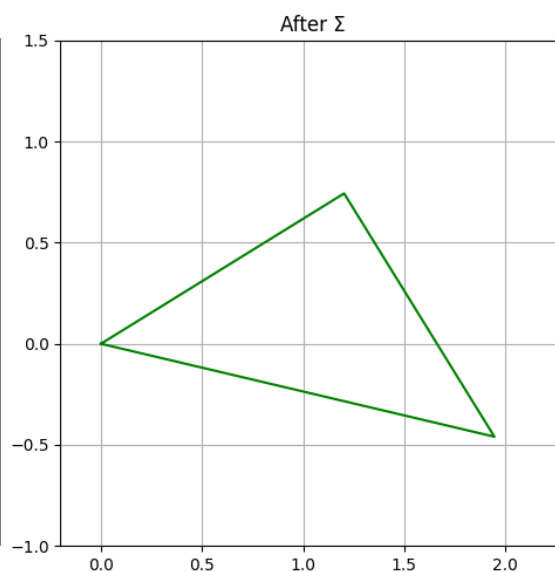
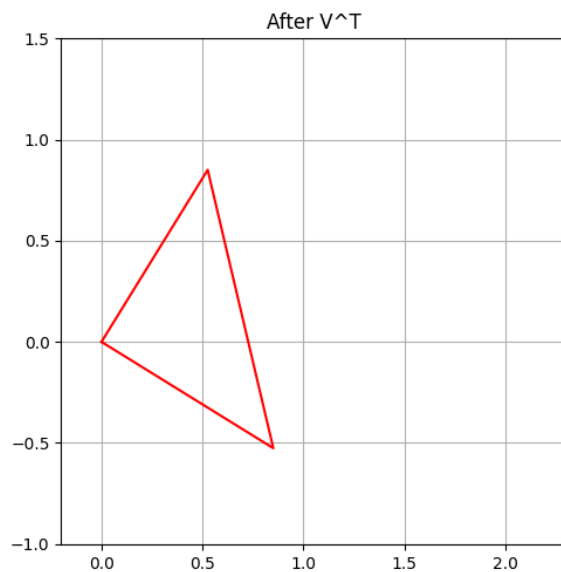
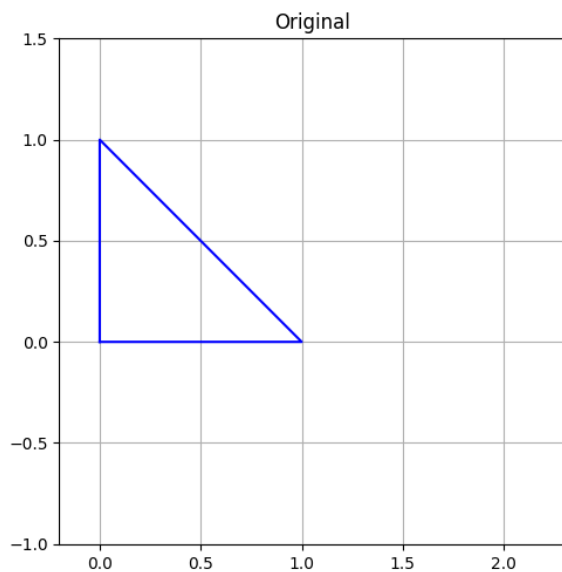
Example



$$\mathbf{B}_2 = \mathbf{F} = \begin{bmatrix} 2 & 1 \\ 0 & 1 \end{bmatrix}$$
$$J = 2$$

这个东西表示什么？考虑SVD分解...

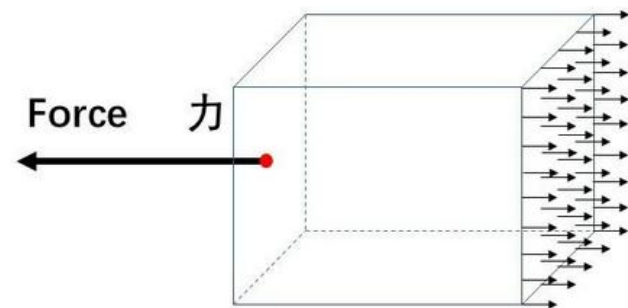
$$\mathbf{F} = \mathbf{U}\mathbf{\Sigma}\mathbf{V}^T$$



Stress

- 应力：单位面积所受的承受力

$$\sigma_{ij} = \lim_{\Delta A_i \rightarrow 0} \frac{\Delta F_j}{\Delta A_i}$$

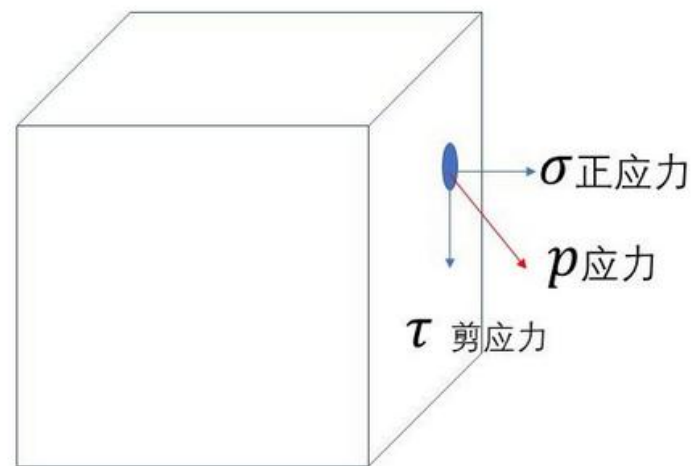
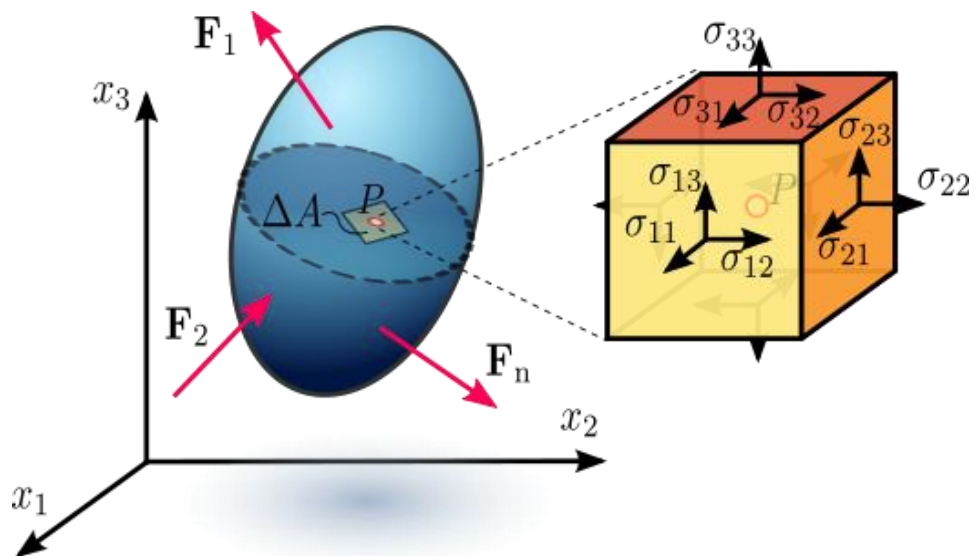


Stress 应力

- 应力张量可以分解成压强和剪应力两部分：

- $p = -\frac{1}{3}\text{tr}(\boldsymbol{\sigma}), \boldsymbol{\tau} = \boldsymbol{\sigma} + p\mathbf{I}$

- 考虑流体，只有垂直于每个面的力，那么每个面都有 $p = \frac{F}{S}$



Section 2.

Hyperelastic

First Piola-Kirchhoff Stress

- 假设Strain Energy Density Function是 Ψ ，一阶Piola-Kirchhoff张量定义为

$$\mathbf{P} = \frac{\partial \Psi}{\partial \mathbf{F}}$$

- 假设材质有**各向同性**，那么我们可以把 Ψ 写成 $\mathbf{F}^T \mathbf{F}$ 的函数，称为right Cauchy-Green Tensor，一般记作 \mathbf{C} ：

- 如果带有旋转，比如 $\mathbf{F} = \mathbf{R}\mathbf{Q}$ ，那么 $\mathbf{F}^T \mathbf{F} = \mathbf{Q}^T \mathbf{R}^T \mathbf{R} \mathbf{Q} = \mathbf{Q}^T \mathbf{Q}$ ，可以约去旋转部分
- 同时可以发现 \mathbf{C} 是一个对称矩阵： $\mathbf{C}_{ij} = \mathbf{F}_{ik} \mathbf{F}_{jk} = \mathbf{C}_{ji}$

- 考虑 \mathbf{C} 的特征值：

$$\left(\begin{bmatrix} c_{11} & c_{12} & c_{13} \\ c_{21} & c_{22} & c_{23} \\ c_{31} & c_{32} & c_{33} \end{bmatrix} - \lambda \mathbf{I} \right) \mathbf{v} = 0 \Rightarrow \begin{bmatrix} c_{11} - \lambda & c_{12} & c_{13} \\ c_{21} & c_{22} - \lambda & c_{23} \\ c_{31} & c_{32} & c_{33} - \lambda \end{bmatrix} \mathbf{v} = 0$$

- 可以转换成如下特征多项式

$$\lambda^3 - I_C \lambda^2 - II_C \lambda - III_C = 0$$

First Piola-Kirchhoff Stress (Cont.)

- 如果我们实际求一下，就会发现

$$\begin{aligned}I_C &= \text{tr}(\mathbf{C}) \\ II_C &= \frac{1}{2} \left(I_C^2 - \text{tr}(\mathbf{C}\mathbf{C}) \right) \\ III_C &= \det(\mathbf{C}) = J^2\end{aligned}$$

- 这三个量称为各向同性不变量。在一部分文献中，也直接用下面的关系来表示二阶

$$II_C = \text{tr}(\mathbf{C}\mathbf{C})$$

-它的几何含义?
- 在图形学中，用 $\mathbf{F} = \mathbf{U}\mathbf{\Sigma}\mathbf{V}^T$ 进行Polar SVD分解， \mathbf{U}, \mathbf{V} 表示旋转， $\mathbf{\Sigma}$ 表示缩放。而缩放与**奇异值**强相关，因此 \mathbf{F} 的**奇异值** $\sigma_1, \sigma_2, \sigma_3$ 就表示了形变特性。则完全可以用 \mathbf{F} 的**奇异值**来表示这三个参量：

$$I_C = \sigma_i^2, II_C = \sigma_i^2 \sigma_j^2 \delta_{ij}, III_C = \sigma_i^4$$

回忆：矩阵奇异值等于 $A^T A$ 或 AA^T 非负特征值的平方根

Neo-Hookean

- 下面我们可以写出Energy Density Function的具体形式:

$$\Psi(\mathbf{F}) = \frac{\mu}{2}(I_C - d) - \mu \ln J + \frac{\lambda}{2} \ln^2 J$$

- d 表示维度: 二维取2, 三维取3; 假设杨氏模量为 E , 泊松比为 ν , 有

$$\mu = \frac{E}{2(1 + \nu)}, \lambda = \frac{E\nu}{(1 + \nu)(1 - 2\nu)}$$

- 回想一下要计算的 $\mathbf{P} = \frac{\partial \Psi}{\partial \mathbf{F}}$, 对上式求导

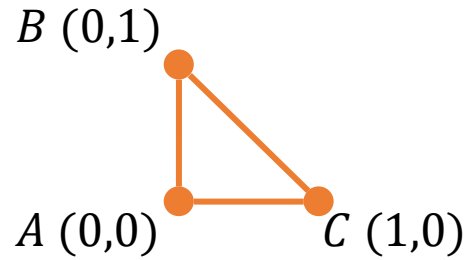
$$\mathbf{P} = \mu(\mathbf{F} - \mathbf{F}^{-T}) + \lambda \ln J \mathbf{F}^{-T}$$

- 这基于 $\frac{d|\mathbf{A}|}{d\mathbf{A}} = |\mathbf{A}|\mathbf{A}^{-T}$, 其中 $|\mathbf{A}|$ 表示 $\det \mathbf{A}$ 。

- 带进去刚体运动 $\mathbf{F} = \mathbf{R}$, 则 $I_C = 3$, $J = 1$, 最后能量为0, 这也是能量最小值。如果满足 $\det \mathbf{F} > 0$, 则有 $\Psi(\mathbf{F}) > 0$ 。

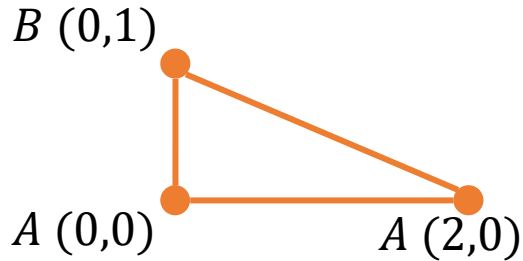
Example

$$\Psi(\mathbf{F}) = \frac{\mu}{2}(I_c - d) - \mu \ln J + \frac{\lambda}{2} \ln^2 J$$



State 0

$$\mathbf{A} = \begin{bmatrix} 1 & 0 \\ 0 & 1 \end{bmatrix}$$



State 1

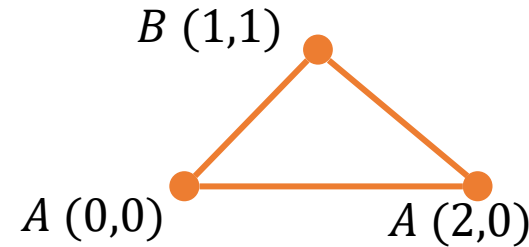
$$\mathbf{B}_1 = \mathbf{F} = \begin{bmatrix} 2 & 0 \\ 0 & 1 \end{bmatrix}$$

$$J = 2$$

$$\Psi(\mathbf{F}) = \frac{\mu}{2} - \mu \ln 2 + \frac{\lambda}{2} \ln^2 2$$

$$\mathbf{F}^{-T} = \begin{bmatrix} 0.5 & 0 \\ 0 & 1 \end{bmatrix}$$

$$\mathbf{P} = \mu \begin{bmatrix} 1.5 & 0 \\ 0 & 0 \end{bmatrix} + \lambda \ln 2 \begin{bmatrix} 0.5 & 0 \\ 0 & 1 \end{bmatrix}$$



State 2

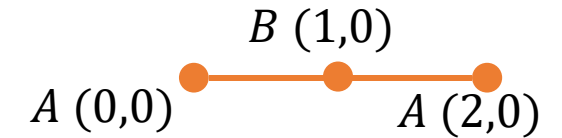
$$\mathbf{B}_2 = \mathbf{F} = \begin{bmatrix} 2 & 1 \\ 0 & 1 \end{bmatrix}$$

$$J = 2$$

$$\Psi(\mathbf{F}) = \frac{\mu}{2} - \mu \ln 2 + \frac{\lambda}{2} \ln^2 2$$

$$\mathbf{F}^{-T} = \begin{bmatrix} 0.5 & 0 \\ -0.5 & 1 \end{bmatrix}$$

$$\mathbf{P} = \mu \begin{bmatrix} 1.5 & 1 \\ 0.5 & 0 \end{bmatrix} + \lambda \ln 2 \begin{bmatrix} 0.5 & 0 \\ -0.5 & 1 \end{bmatrix}$$



State 3

$$\mathbf{B}_3 = \mathbf{F} = \begin{bmatrix} 2 & 1 \\ 0 & 0 \end{bmatrix}$$

$$J = 0$$

$$\Psi(\mathbf{F}) = +\infty!$$

Fixed Corotated Constitutive Model

- 解决了旋转后体积可能变大的问题
- 假设 $\mathbf{F} = \mathbf{U}\mathbf{\Sigma}\mathbf{V}^T$, 特征值为 σ_i , 则有如下模型

$$\Psi(\mathbf{F}) = \sum_i \mu(\sigma_i - 1)^2 + \frac{\lambda}{2}(J - 1)^2$$

- 考虑极分解 $\mathbf{F} = \mathbf{R}\mathbf{S}$, \mathbf{R} 是正交矩阵, \mathbf{S} 是半正定矩阵:

$$\mathbf{F} = \mathbf{U}\mathbf{\Sigma}\mathbf{V}^T = \mathbf{U}\mathbf{V}^T\mathbf{V}\mathbf{\Sigma}\mathbf{V}^T = \mathbf{R}\mathbf{S}$$

- 那么 $\mathbf{R}^T\mathbf{F} = \mathbf{V}\mathbf{\Sigma}\mathbf{V}^T$, 所以 $\text{tr}(\mathbf{\Sigma}) = \text{tr}(\mathbf{R}^T\mathbf{F})$ 。根据这一结论可以得出, 一阶PK张量

$$\mathbf{P}(\mathbf{F}) = 2\mu(\mathbf{F} - \mathbf{R}) + \lambda(J - 1)J\mathbf{F}^{-T}$$

- 在实践中, 如果使用隐式积分, 还需要用到一阶PK张量的导数, 这一推导结论在附录1中给出。
- 附录2给出了一种求解弹性张量的通用方法。
- 特别的, Cauchy Stress $\boldsymbol{\sigma} = \frac{1}{J}\mathbf{P}\mathbf{F}^T$

Section 3.

Plasticity

Plasticity..?

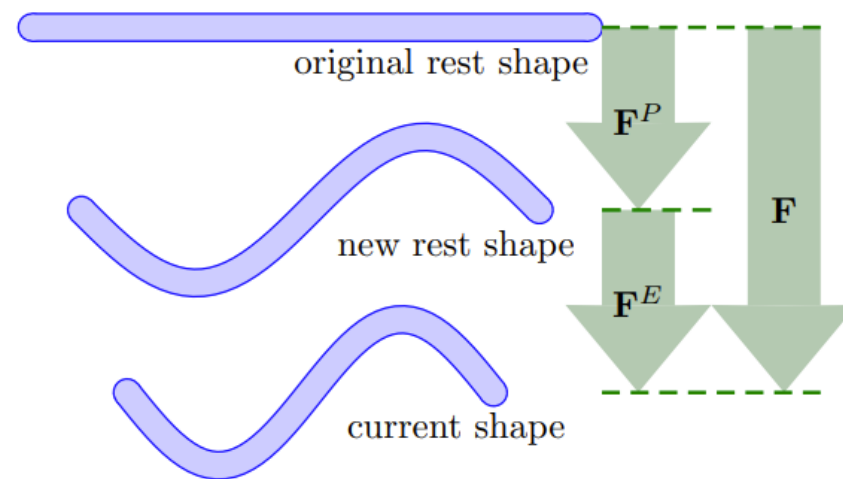
- 简单的思路：把形变梯度分解成弹性和塑性部分

$$\mathbf{F} = \mathbf{F}_E \mathbf{F}_P$$

- \mathbf{F}_P 表示无记忆的部分：形变后不可恢复
- 考虑右面的金属杆，把它窝弯了之后.....
- 此时，弹性响应只跟 \mathbf{F}_E 有关

- 一种直观的想法：每次更新 \mathbf{F} 的时候判断超没超限度，超了就重新更新到记忆性的塑性里

- 对弹性项的奇异值做一个限制，超过就认为是塑性了.....
- 形式化描述



Simplified Plasticity

- 假设我们定义弹性范围是 $[1 - \theta_c, 1 + \theta_s]$, 从 n 时间步转换到 $n + 1$ 时间步, 所有的形变都是弹性形变

$$\mathbf{F}^{n+1} = \tilde{\mathbf{F}}_E^{n+1} \mathbf{F}_P^n$$

- 对 $\tilde{\mathbf{F}}_E^{n+1}$ 进行分解, 假设奇异值是 $\tilde{\sigma}_{Ei}^{n+1}$, 对每个奇异值进行clamp操作, 得到

$$\mathbf{F}_E^{n+1} = \mathbf{U}_E^{n+1} \text{diag} \left(\text{clamp}(\tilde{\sigma}_{Ei}^{n+1}, 1 - \theta_c, 1 + \theta_s) \right) \mathbf{V}_E^{n+1^T}$$

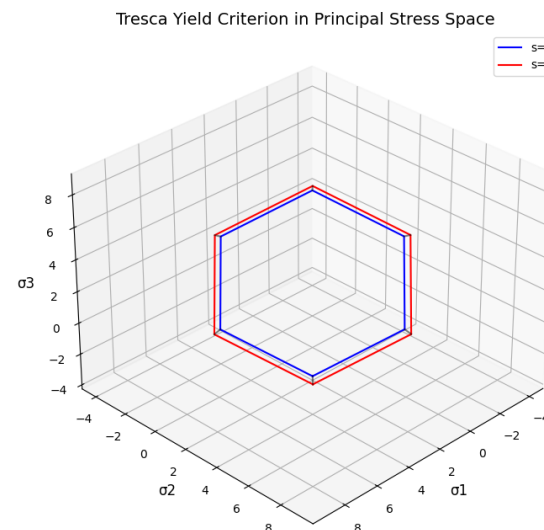
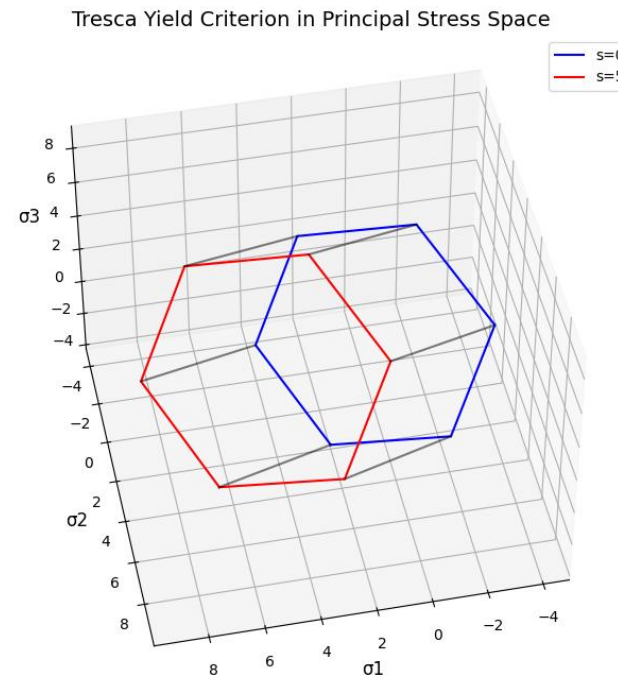
- 再把对应的塑性项更新回来

$$\mathbf{F}_P^{n+1} = (\mathbf{F}_E^{n+1})^{-1} \mathbf{F}^{n+1}$$

- 有没有更加物理准确的描述?
- 实际上我们要做的就是如何计算 \mathbf{F}_E^{n+1} 来完成投影操作, 我们介绍常用的Drucker-Prager方法。

屈服准则

- 屈服准则：什么条件下进入塑性状态
- 最简单的准则：Tresca准则
- 假设考虑Kirrhoff应力 $\boldsymbol{\tau}$ ，它的核心形变由三个特征值 $\sigma_1, \sigma_2, \sigma_3$ 决定，Tresca准则说明：最大的应力与最小的应力之间距离大于某个值的时候进入塑性
- 它是什么形状？六棱柱
- 它的截面是什么特征？一个正六边形
- 从什么地方截？ $x = y = z$ 方向
- 我们把 $p = -\frac{1}{d}\text{tr}(\boldsymbol{\tau})$ 称为**静水压力**，表示了材料的等向性压缩。如果只有纯静水压力影响，材料只有体积变化而无剪切。Tresca准则下屈服与静水压力**无关**。



屈服准则

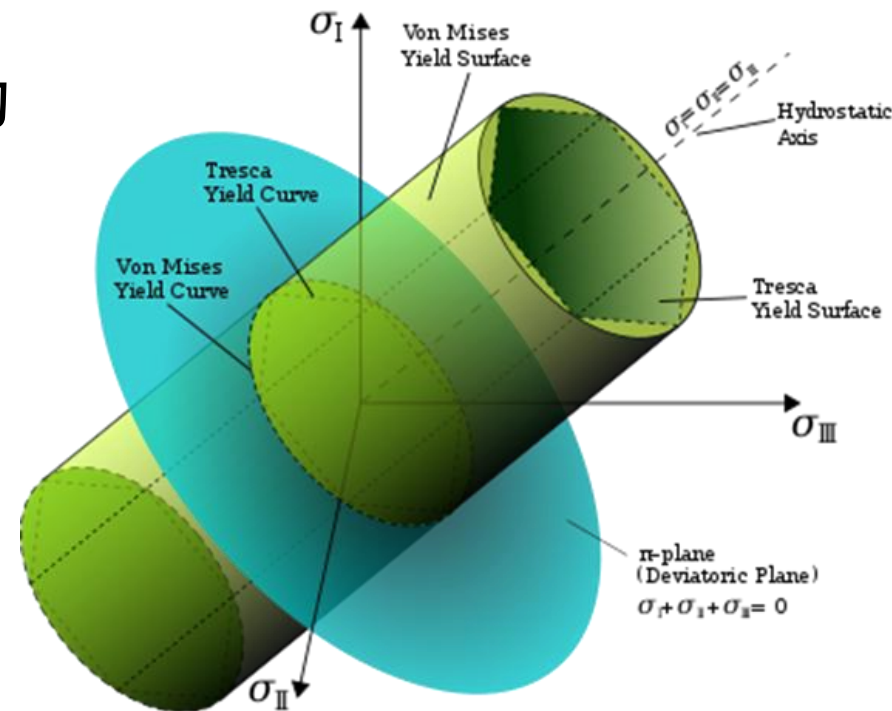
- Von-Mises准则
- 上面的屈服准则用的大于等于太难处理了，为什么不直接简化成 π 平面上一个圆？
- 为了让它仍然保证静水压力无关，使用如下等效应力

$$q = \sqrt{\frac{1}{2}[(\sigma_1 - \sigma_2)^2 + (\sigma_2 - \sigma_3)^2 + (\sigma_3 - \sigma_1)^2]}$$

- 为了方便计算，引入偏应力张量 $\mathbf{s} = \boldsymbol{\tau} + p\mathbf{I}$ ，则偏应力张量反应了无体积变化的部分。则有如下关系：

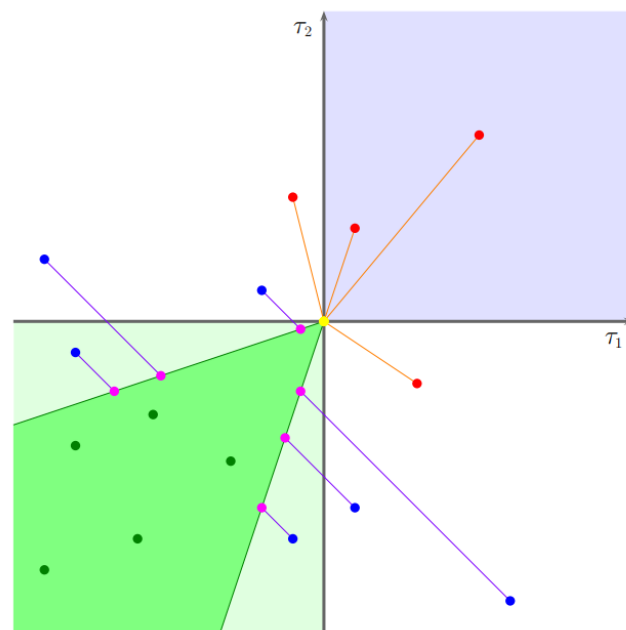
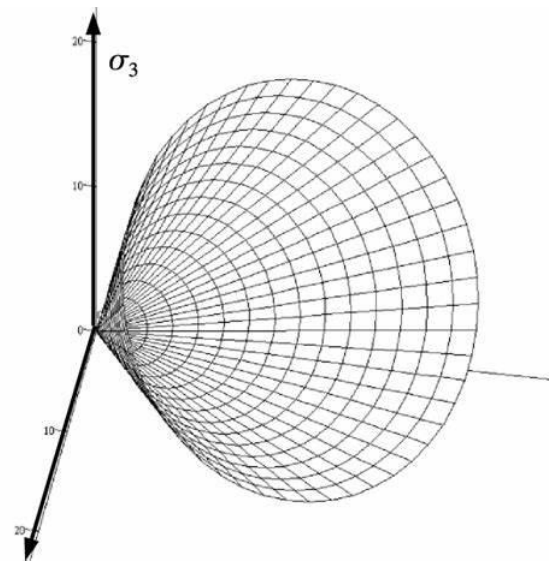
$$q = \sqrt{\frac{3}{2} \|\mathbf{s}\|_F}$$

- 这样，Von-Mises准则确立一个圆柱体



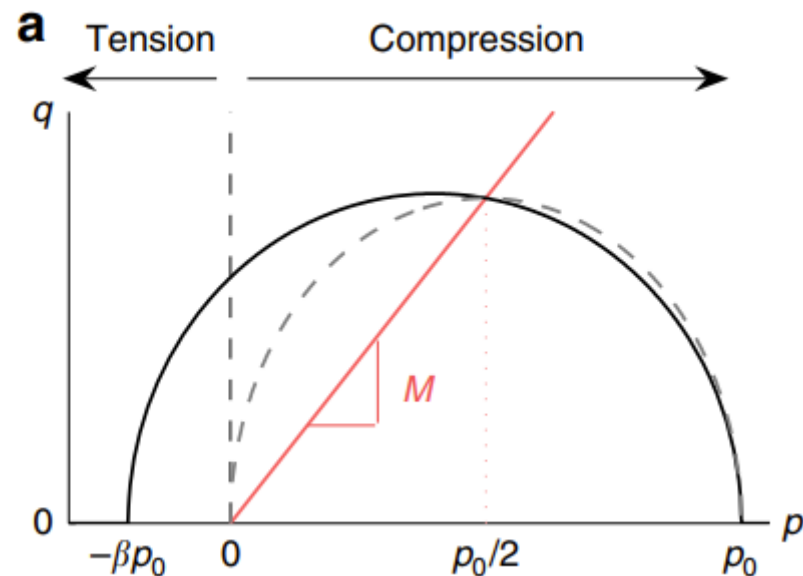
屈服准则

- 但是真的跟静压力无关吗？
- 一个直观的观察：对于摩擦形材料（比如沙子和岩石），我们使劲按压的时候它发生滑动比较难
- 所以静水压力越大，就越难发生塑性流动
- 怎么办？给屈服条件加一个静水压力的补正
- Drucker-Prager模型
- 屈服准则是一个圆锥面：
 - 原点，表示体积不变化，没有抗拉能力
 - 侧壁，表示有明显的屈服极限
- 如果用来模拟沙子或者雪：
 - 红色部分表示产生拉伸，直接对应到原点
 - 蓝色部分表示压缩超过限度，投影到圆锥侧壁上



屈服准则

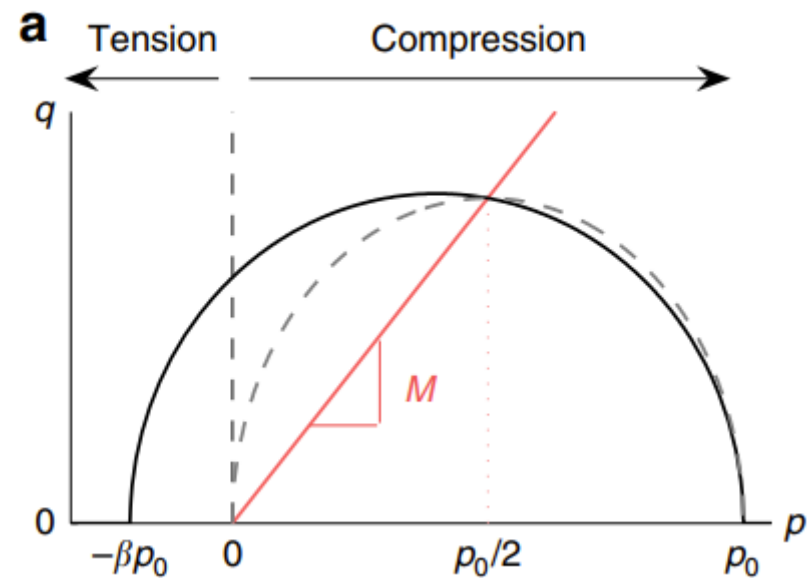
- 还有没有其他应该考虑的因素?
 - 过压时抗剪能力反而变差
 - 如果不是仿真沙子，应该有拉伸
- 修改的Cam-Clay模型
$$y(p, q) = q^2(1 + 2\beta) + M^2(p + \beta p_0)(p - p_0)$$
$$p_0 = K \sinh(\xi \max(-a, 0))$$
- 屈服准则是个椭球
 - p_0 表示硬化压力
 - M 表示关键状态线斜率，反应摩擦大小
 - β 表示拉伸和压缩的状态
- 那么如何把屈服准则和前面介绍的东西联系在一起？



屈服准则

- 直观感受:

- β 越大, 抗拉伸能力越强
- α 越大, 越容易达到破碎临界点



屈服准则和形变梯度

- ~~数学公式又回来了~~

- 定义左Cauchy Green张量 $\mathbf{b} = \mathbf{F}\mathbf{F}^T$ ，那么考虑 $\mathbf{F} = \mathbf{F}^E \mathbf{F}^P$ ，有
$$\mathbf{b}^E = \mathbf{F}^E \mathbf{F}^{E^T} = \mathbf{F}(\mathbf{F}^P)^{-1}(\mathbf{F}^P)^{-T} \mathbf{F}^T = \mathbf{F} \mathbf{C}^{P^{-1}} \mathbf{F}^T$$

- 所以弹性势能的左Cauchy Green张量可以这样演化：

$$\frac{D\mathbf{b}^E}{Dt} = \frac{D\mathbf{F}}{Dt} \mathbf{C}^{P^{-1}} \mathbf{F}^T + \mathbf{F} \mathbf{C}^{P^{-1}} \frac{D\mathbf{F}^T}{Dt} + \mathbf{F} \frac{D\mathbf{C}^{P^{-1}}}{Dt} \mathbf{F}^T$$

- 对它做分裂，变成两步求解过程。第一步：

$$\frac{D\mathbf{b}^{E0}}{Dt} = \frac{D\mathbf{F}}{Dt} \mathbf{C}^{P^{-1}} \mathbf{F}^T + \mathbf{F} \mathbf{C}^{P^{-1}} \frac{D\mathbf{F}^T}{Dt}$$

- 这个时候相当于我们假设变形没有塑性，那么 $\mathbf{C}^{P^{-1}} = \mathbf{I}$ ，完全相当于演化弹性。
- 第二步：

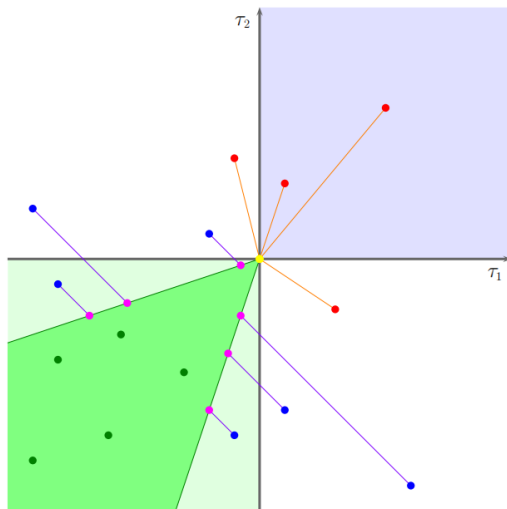
$$\frac{D\mathbf{b}^E}{Dt} = \mathbf{F} \frac{D\mathbf{C}^{P^{-1}}}{Dt} \mathbf{F}^T$$

屈服准则和形变梯度

- 这玩意一般称为Lie导数。它肯定是不能直接算的，所以我们直接假设：

$$\frac{D\mathbf{b}^E}{Dt} = -2\gamma \text{dev} \left(\frac{\partial y}{\partial \boldsymbol{\tau}} \right) \mathbf{b}^E$$

- 这里的 y 就是屈服平面。看上去摸不着头脑，一层一层看：
 - $\left(\frac{\partial y}{\partial \boldsymbol{\tau}} \right)$ 可以理解成屈服面上的梯度函数，指向下降最快的方向
 - $\text{dev} \left(\frac{\partial y}{\partial \boldsymbol{\tau}} \right)$ 把这个梯度函数去掉了体积部分，只留下形变部分
 - 所以它就相当于沿着形变方向走一段距离来尽可能靠近屈服面！
- 回顾：蓝色粒子的表现



$$\text{dev}(\mathbf{A}) = \mathbf{A} - \frac{1}{d} \text{tr}(\mathbf{A}) \mathbf{I}$$

它相当于去掉体积变化部分
只考虑纯粹的形变

屈服准则和形变梯度

- 如何求解这个微分方程 $\frac{D\mathbf{b}^E}{Dt} = -2\gamma \text{dev}\left(\frac{\partial \mathbf{y}}{\partial \boldsymbol{\tau}}\right) \mathbf{b}^E$?

- 直接建立隐式格式, \mathbf{b}^{E0} 是假设全部弹性计算的结果

$$\mathbf{b}^{E,n+1} - \mathbf{b}^{E0} = -2\delta\gamma \text{dev}\left(\frac{\partial \mathbf{y}}{\partial \boldsymbol{\tau}}\right) \mathbf{b}^{E,n+1}$$

- 假设 $\mathbf{s} = \text{dev}(\boldsymbol{\tau})$, 表示变形分量。那么, 向屈服面投影应该不改变偏应力方向, 即

$$\frac{\mathbf{s}^{n+1}}{\|\mathbf{s}^{n+1}\|} = \frac{\mathbf{s}^{n0}}{\|\mathbf{s}^{n0}\|}$$

- 而根据一系列推导, 有

$$y = \frac{6-d}{2} \|\mathbf{s}^{n+1}\|^2 (1 + 2\beta) + M^2 (p^{n0} + \beta p_0) (p^{n0} - p_0) = 0$$

- 这个方程根据 p^{n0} 而确定解的类型, $p^{n0} = -\frac{1}{d} \text{tr}(\boldsymbol{\tau}) = -J^{E0} \Psi'(J^{E0})$

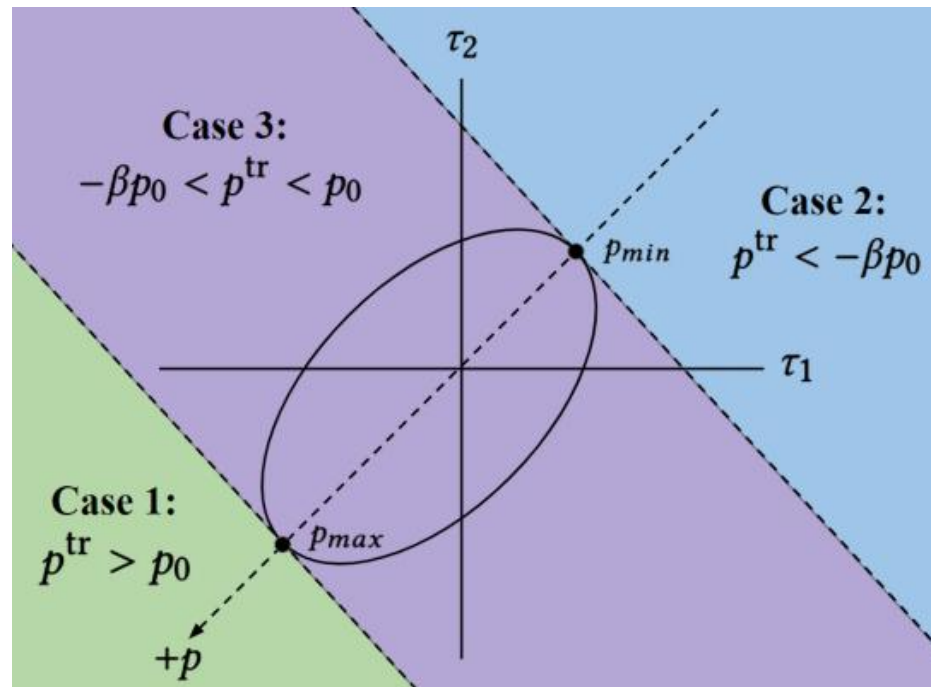
屈服准则和形变梯度

- 分成三类:
- Case 3, 这个时候方程有解, 直接解

$$\mathbf{s}^{n+1} = \frac{\mathbf{s}^{n0}}{\|\mathbf{s}^{n0}\|} M \sqrt{\frac{2(p^{n0} + \beta p_0)(p^{n0} - p_0)}{(d-6)(1+2\beta)}}$$

$$\mathbf{b}^{E,n+1} = \text{dev}(\mathbf{b}^{E,n+1}) + \frac{1}{d} \text{tr}(\mathbf{b}^{E,n+1}) \mathbf{I} = \frac{\mathbf{s}^{n+1}}{\mu J^{2a}} + \text{tr}(\mathbf{F}^{n0} \mathbf{F}^{n0T})$$

- Case 1,
 $p^{n+1} = p_{\max} = p_0, q = 0$
- Case 2,
 $p^{n+1} = p_{\min} = -\beta p_0, q = 0$
- 然后反推特征值



硬化

- 硬化：随着塑性变化的发生，屈服面发生改变
- 为此，在屈服面中考虑硬化参数 α ：

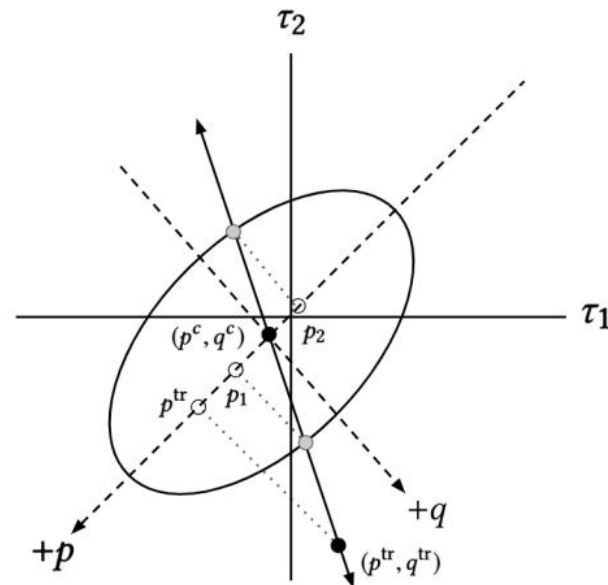
$$p_0 = K \sinh(\xi \max(-a, 0))$$

- 然后每次迭代后更新 α

$$\alpha^{n+1} = \log \left(\frac{J^{E,n0}}{J^{E,n+1}} \right) + \alpha^n$$

- 问题是在State3中，用dev更新不改变体积，导致 α 无法正确更新。所以重新计算与屈服面的交点作为正确的值做更新：

- 全弹性时候计算出来点是 (p^{tr}, q^{tr})
- 椭圆的中心是 (p^c, q^c)
- 两点连线与椭圆方程形成一个二次型，交点 (p^\times, q^\times)
- 使用 p^\times 计算新的 J^\times ，然后用上述公式更新 α^{n+1}



NACC Step

Algorithm 2 NACC Plasticity

```

1: Run MPM step until we have updated elastic deformation gradients,  $F_p^{E,n+1}$ 
2: procedure PROJECTSTRAINNACC
3:    $U, \Sigma, V^T = \text{SVD}(F_p^{E,n+1})$ 
4:    $p_0 = \kappa (0.00001 + \xi \sinh(\max(-\alpha, 0)))$  //buffer prevents YS from collapsing
5:    $J^{E,tr} = \Sigma_{0,0} * \Sigma_{1,1} * \Sigma_{2,2}$ 
6:    $\hat{s}^{tr} = \mu J^{E,tr} \frac{-2}{d} \text{dev}(\Sigma^2)$ 
7:    $\Psi^{\kappa'} = \frac{\kappa}{2} (J^{E,tr} - \frac{1}{J^{E,tr}})$ 
8:    $p^{tr} = -\Psi^{\kappa'} J^{E,tr}$ 
9:   if  $p^{tr} > p_0$  then //Case 1: Project to max tip of YS
10:      $J^{E,n+1} = \sqrt{\frac{-2p_0}{\kappa} + 1}$ 
11:      $\Sigma^{n+1}_{i,i} = J^{E,n+1} \frac{1}{d}$  for  $i = 0, 1, 2$ 
12:      $\alpha += \log(\frac{J^{E,tr}}{J^{E,n+1}})$ 
13:     return  $U * \Sigma^{n+1} * V^T$ 
14:   if  $p^{tr} < -\beta p_0$  then //Case 2: Project to min tip of YS
15:      $J^{E,n+1} = \sqrt{\frac{2\beta p_0}{\kappa} + 1}$ 
16:      $\Sigma^{n+1}_{i,i} = J^{E,n+1} \frac{1}{d}$  for  $i = 0, 1, 2$ 
17:      $\alpha += \log(\frac{J^{E,tr}}{J^{E,n+1}})$ 
18:     return  $U * \Sigma^{n+1} * V^T$ 
19:    $y = (1 + 2\beta)(\frac{6-d}{2}) \|\hat{s}^{tr}\| + M^2(p^{tr} + \beta p_0)(p^{tr} - p_0)$ 
20:   if  $y < 0.0001$  then //Inside YS
21:     return  $U * \Sigma * V^T$ 
22:   if  $p_0 > 0.0001$  and  $p^{tr} < p_0 - 0.0001$  and  $p^{tr} > -\beta p_0 + 0.0001$  then
23:      $p^c = (1 - \beta) \frac{p_0}{2}$ 
24:      $q^{tr} = \sqrt{\frac{6-d}{2}} \|\hat{s}^{tr}\|$ 
25:      $direction[0] = p^c - p^{tr}$ 
26:      $direction[1] = 0 - q^{tr}$ 
27:      $direction = \frac{direction}{\|direction\|}$ 
28:      $C = M^2(p^c + \beta p_0)(p^c - p_0)$ 
29:      $B = M^2 direction[0](2p^c - p_0 + \beta p_0)$ 
30:      $A = M^2 direction[0]^2 + (1 + 2\beta) direction[1]^2$ 
31:      $l_1 = \frac{-B + \sqrt{B^2 - 4AC}}{2A}$ 
32:      $l_2 = \frac{-B - \sqrt{B^2 - 4AC}}{2A}$ 
33:      $p_1 = p^c + l_1 direction[0]$ 
34:      $p_2 = p^c + l_2 direction[0]$ 
35:      $p^\times = (p^{tr} - p^c)(p_1 - p^c) ? p_1 : p_2$ 
36:      $J^{E,\times} = \sqrt{\frac{-2p^\times}{\kappa} + 1}$ 
37:     if  $J^{E,\times} > 0.0001$  then
38:        $\alpha += \log(\frac{J^{E,tr}}{J^{E,\times}})$ 
39:     //Case 3: Yield Surface Projection
40:      $\hat{b}^{E,n+1} = \sqrt{\frac{-M^2(p^{tr} + \beta p_0)(p^{tr} - p_0)}{(1 + 2\beta)(\frac{6-d}{2})}} (\frac{J^{E,tr} \frac{2}{d}}{\mu}) \frac{\hat{s}^{tr}}{\|\hat{s}^{tr}\|} + \frac{1}{d} \text{trace}(\Sigma^2)$ 
41:      $\Sigma^{n+1}_{i,i} = \sqrt{\hat{b}_i^{E,n+1}}$  for  $i = 0, 1, 2$ 
42:     return  $U * \Sigma^{n+1} * V^T$ 

```

Section 4.

MLS-MPM

Review: Semi-Lagrange Solver

- 动机：将NS方程拆开分步计算

$$\frac{dq}{dt} = f(q) + g(q) \xrightarrow[\text{Split}]{\text{Forward Euler}} \begin{cases} \tilde{q}^{(n)} = q^{(n)} + \Delta t f(q^{(n)}) \\ q^{(n+1)} = \tilde{q}^{(n)} + \Delta t g(\tilde{q}^{(n)}) \end{cases} \xrightarrow{\text{Generalize}} \begin{cases} \tilde{q}^{(n)} = F(\Delta t, q^{(n)}) \\ q^{(n+1)} = G(\Delta t, \tilde{q}^{(n)}) \end{cases}$$

Any Solver, e.g. RK4

$$\frac{D\mathbf{u}}{Dt} = -\frac{1}{\rho}\nabla p + \nu\nabla^2\mathbf{u} + \mathbf{g} - \delta_{\partial\Omega}\sigma\kappa\hat{\mathbf{n}} \xrightarrow{\text{Split}} \begin{cases} \frac{D\mathbf{u}}{Dt} = 0 & \text{Advection} \\ \frac{\partial\mathbf{u}}{\partial t} = \mathbf{g} & \text{Forward Euler} \\ \frac{\partial\mathbf{u}}{\partial t} + \frac{1}{\rho}\nabla p = 0 & \text{Projection} \end{cases}$$

MPM是弱可压
不需要压力投影!

算法概要：

1. initialize \mathbf{u} , such that $\nabla \cdot \mathbf{u} = 0$
2. for time step $n = 0, 1, 2, \dots$
 - 2.1 $t_{n+1} = t_n + \Delta t$
 - 2.2 $\mathbf{u}^A = \text{advect}(\mathbf{u}^{(n)}, \Delta t)$
 - 2.3 $\mathbf{u}^B = \mathbf{u}^A + \Delta t \mathbf{g}$
 - 2.4 $\mathbf{u}^{(n+1)} = \text{project}(\Delta t, \mathbf{u}^B)$

From Semi-Language to PIC

- 拉格朗日视角适合求解粒子状态传递，欧拉视角来做力计算，为什么不结合？

(2) Grid operations:

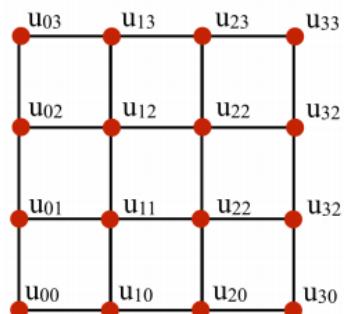
- Pressure projection
- Boundary conditions
- ...

(3)
Grid to Particle transfer
G2P

(1)
Particle to Grid transfer
P2G

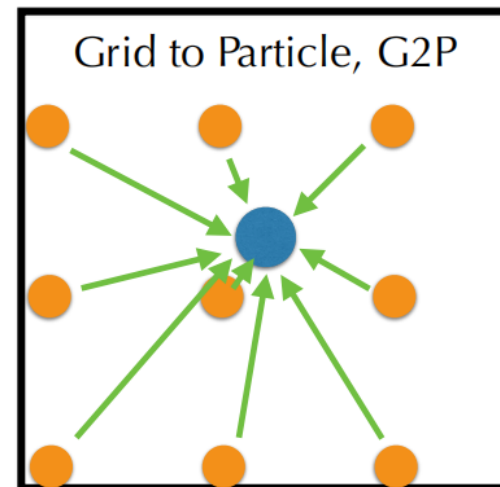
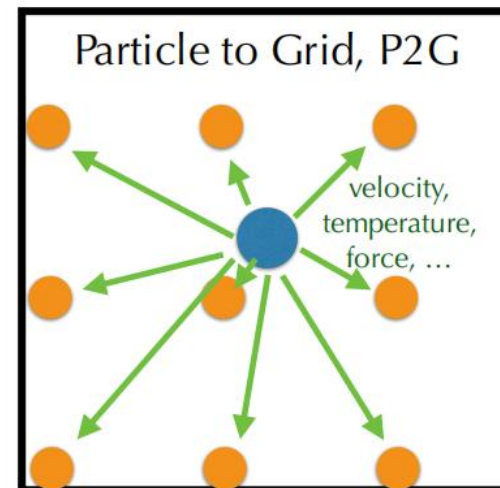
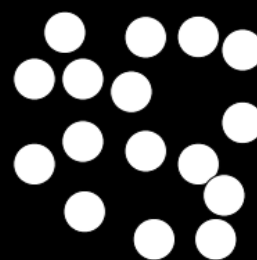
(4) Particle operations:

- Move particles
- Update material
- ...



Eulerian
Grids
(often auxiliary)

Lagrangian
Particles
(which stores most
of the information)



From Semi-Langrage to PIC

- P2G: 分成三个方向分别影响

$$N_i(\mathbf{x}_p) = N\left(\frac{x_p - x_i}{h}\right) N\left(\frac{y_p - y_i}{h}\right) N\left(\frac{z_p - z_i}{h}\right)$$

Linear

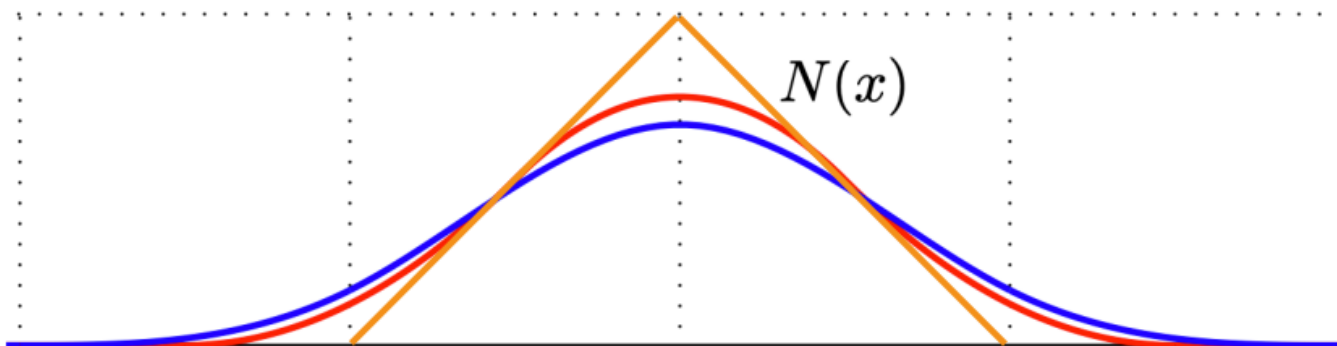
Quadratic

Cubic

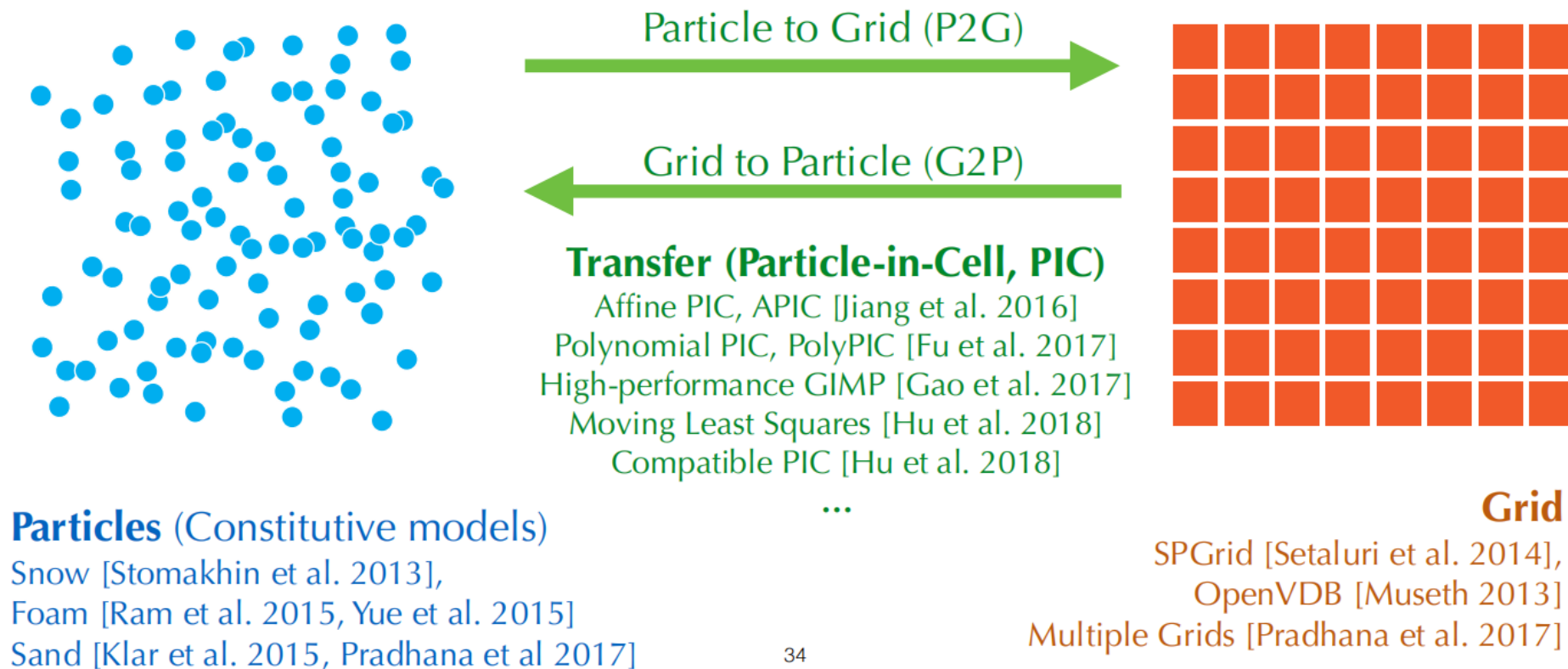
$$N(x) = \begin{cases} 1 - |x| & 0 \leq |x| < 1 \\ 0 & 1 \leq |x| \end{cases}$$

$$N(x) = \begin{cases} \frac{3}{4} - |x|^2 & 0 \leq |x| < \frac{1}{2} \\ \frac{1}{2} \left(\frac{3}{2} - |x|\right)^2 & \frac{1}{2} \leq |x| < \frac{3}{2} \\ 0 & \frac{3}{2} \leq |x| \end{cases}$$

$$N(x) = \begin{cases} \frac{1}{2}|x|^3 - |x|^2 + \frac{2}{3} & 0 \leq |x| < 1 \\ \frac{1}{6}(2 - |x|)^3 & 1 \leq |x| < 2 \\ 0 & 2 \leq |x| \end{cases}$$



The Material Point Method as of 2018



Transfer

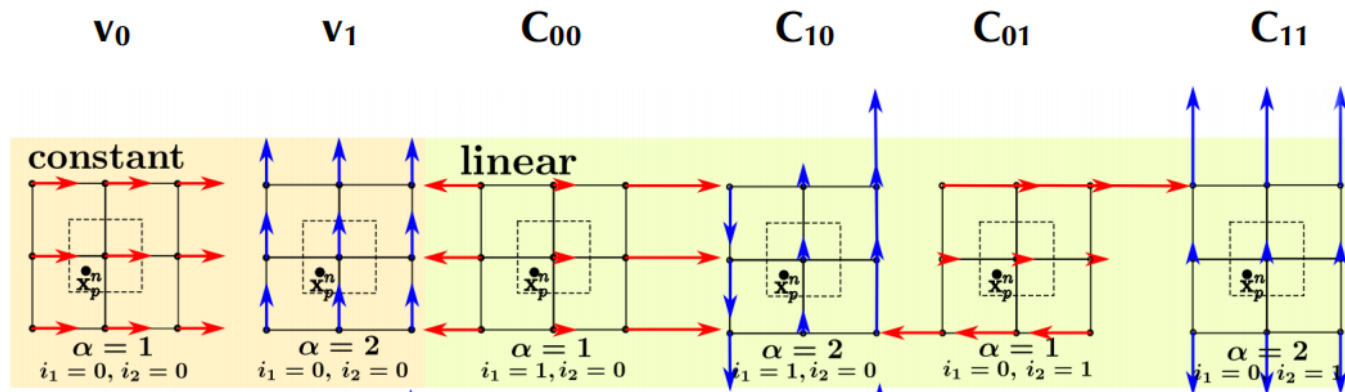
- 简单的传递方式:
- P2G传递过程

$$m_i = \sum_p m_p N_i(\mathbf{x}_p), (m\mathbf{v})_i = \sum_p m_p \mathbf{v}_p N_i(\mathbf{x}_p), \mathbf{v}_i = \frac{(m\mathbf{v})_i}{m_i}$$

- 反过来, G2P传递过程

$$v_p = \sum_i m_i N_p(\mathbf{x}_i)$$

- 问题: 会丢失自由度, 假如3x3传递, 这样的网格有18个自由度, 而生成的粒子只有一个=>APIC



Transfer

- APIC Transfer: 额外引入一个仿射变换矩阵做动量传递

$$m_i \mathbf{v}_i = \sum_p w_{ip} m_p \left(\mathbf{v}_p + \mathbf{B}_p (\mathbf{D}_p)^{-1} (\mathbf{x}_i - \mathbf{x}_p) \right)$$

- 其中,

$$\mathbf{D}_p = \sum_i w_{ip} (\mathbf{x}_i - \mathbf{x}_p) (\mathbf{x}_i - \mathbf{x}_p)^T$$

- 对于二次插值, $\mathbf{D}_p = \frac{1}{4} \Delta x^2 \mathbf{I}$; 对于三次插值, $\mathbf{D}_p = \frac{1}{3} \Delta x^2 \mathbf{I}$ 。
- 而 \mathbf{B}_p 是粒子一个特征, 可以在G2P的时候顺便更新:

$$\mathbf{B}_p = \sum_i w_{ip} \mathbf{v}_i (\mathbf{x}_i - \mathbf{x}_p)^T$$

Transfer

- taichi Code
- easy to impl

```
for p in x:
    base = (x[p] * inv_dx - 0.5).cast(int)
    fx = x[p] * inv_dx - base.cast(float)
    # Quadratic B-spline
    w = [0.5 * (1.5 - fx) ** 2, 0.75 - (fx - 1) ** 2, 0.5 * (fx - 0.5) ** 2]
    affine = C[p]
    for i in ti.static(range(3)):
        for j in ti.static(range(3)):
            offset = ti.Vector([i, j])
            dpos = (offset.cast(float) - fx) * dx
            weight = w[i][0] * w[j][1]
            grid_v[base + offset] += weight * (v[p] + affine @ dpos)
            grid_m[base + offset] += weight
```

```
for p in x:
    base = (x[p] * inv_dx - 0.5).cast(int)
    fx = x[p] * inv_dx - base.cast(float)
    # Quadratic B-spline
    w = [
        0.5 * (1.5 - fx) ** 2, 0.75 - (fx - 1.0) ** 2, 0.5 * (fx - 0.5) ** 2
    ]
    new_v = ti.Vector.zero(ti.f32, 2)
    new_C = ti.Matrix.zero(ti.f32, 2, 2)
    for i in ti.static(range(3)):
        for j in ti.static(range(3)):
            dpos = ti.Vector([i, j]).cast(float) - fx
            g_v = grid_v[base + ti.Vector([i, j])]
            weight = w[i][0] * w[j][1]
            new_v += weight * g_v
            new_C += 4 * weight * g_v.outer_product(dpos) * inv_dx

x[p] = clamp_pos(x[p] + new_v * dt)
v[p] = new_v
C[p] = new_C
```


Force Update

- Appendix D&E&F
- 直接写结论:

$$\mathbf{F}_p^{n+1} = \left(\mathbf{I} + \Delta t \mathbf{B}_p^n(\mathbf{D}_p) \right)^{-1} \mathbf{F}_p^n$$

- 使用塑性模型对 \mathbf{F}_p^{n+1} 进行投影, 得到 $\bar{\mathbf{F}}_p^{n+1}$
- 计算力

$$\mathbf{f} = -\frac{4}{\Delta x^2} V_p^0 \mathbf{P}(\mathbf{F}_p) \mathbf{F}_p^T w_{ip} (x_i - x_p)$$

- 计算动量

$$(m\mathbf{v})_i = \sum_p w_{ip} (m_p \mathbf{v}_p + m_p \mathbf{B}_p^n(\mathbf{D}_p)^{-1} (\mathbf{x}_i - \mathbf{x}_p) + \mathbf{f} \Delta t)$$

- 计算速度: $\mathbf{v}_i = \frac{(m\mathbf{v})_i}{m_i}$

Frame – Explicit MPM

① Particle to grid (P2G)

- $\mathbf{F}_p^{n+1} = (\mathbf{I} + \Delta t \mathbf{C}_p^n) \mathbf{F}_p^n, \dots$ (**Deformation update**)
- $(m\mathbf{v})_i^{n+1} = \sum_p w_{ip} \{ m_p \mathbf{v}_p^n + [m_p \mathbf{C}_p^n - \frac{4\Delta t}{\Delta x^2} \sum_p V_p^0 \mathbf{P}(\mathbf{F}_p^{n+1})(\mathbf{F}_p^{n+1})^T] (\mathbf{x}_i - \mathbf{x}_p^n) \}$
(**Grid momentum**)
- $m_i^{n+1} = \sum_p m_p w_{ip}$ (Grid mass)

② Grid operations

- $\hat{\mathbf{v}}_i^{n+1} = (m\mathbf{v})_i^{n+1} / m_i^{n+1}$ (Grid velocity)
- $\mathbf{v}_i^{n+1} = \text{BC}(\hat{\mathbf{v}}_i^{n+1})$ (Grid boundary condition. BC is the boundary condition operator.)

③ Grid to particle (G2P)

- $\mathbf{v}_p^{n+1} = \sum_i w_{ip} \mathbf{v}_i^{n+1}$ (Particle velocity)
- $\mathbf{C}_p^{n+1} = \frac{4}{\Delta x^2} \sum_i w_{ip} \mathbf{v}_i^{n+1} (\mathbf{x}_i - \mathbf{x}_p^n)^T$ (Particle velocity gradient)
- $\mathbf{x}_p^{n+1} = \mathbf{x}_p^n + \Delta t \mathbf{v}_p^{n+1}$ (Particle position)

Force Update - impl

- MPM99 – P2G 简化塑性模型

```
for p in x: # Particle state update and scatter to grid (P2G)
    base = (x[p] * inv_dx - 0.5).cast(int)
    fx = x[p] * inv_dx - base.cast(float)
    # Quadratic kernels [http://mpm.graphics Eqn. 123, with x=fx, fx-1,fx-2]
    w = [0.5 * (1.5 - fx) ** 2, 0.75 - (fx - 1) ** 2, 0.5 * (fx - 0.5) ** 2]
    # F[p]: deformation gradient update
    F[p] = (ti.Matrix.identity(float, 2) + dt * C[p]) @ F[p]
    # h: Hardening coefficient: snow gets harder when compressed
    h = ti.exp(10 * (1.0 - Jp[p]))
    if material[p] == 1: # jelly, make it softer
        h = 0.3
    mu, la = mu_0 * h, lambda_0 * h
    if material[p] == 0: # liquid
        mu = 0.0
    U, sig, V = ti.svd(F[p])
    # Avoid zero eigenvalues because of numerical errors
    for d in ti.static(range(2)):
        sig[d, d] = ti.max(sig[d, d], 1e-6)
    J = 1.0
    for d in ti.static(range(2)):
        new_sig = sig[d, d]
        if material[p] == 2: # Snow
            new_sig = ti.min(ti.max(sig[d, d], 1 - 2.5e-2), 1 + 4.5e-3) #
            Plasticity
        Jp[p] *= sig[d, d] / new_sig
        sig[d, d] = new_sig
    J *= new_sig
```

```
if material[p] == 0:
    # Reset deformation gradient to avoid numerical instability
    F[p] = ti.Matrix.identity(float, 2) * ti.sqrt(J)
elif material[p] == 2:
    # Reconstruct elastic deformation gradient after plasticity
    F[p] = U @ sig @ V.transpose()
stress = 2 * mu * (F[p] - U @ V.transpose()) @ F[p].transpose() + ti.Matrix.
identity(float, 2) * la * J * (J - 1)
stress = (-dt * p_vol * 4 * inv_dx * inv_dx) * stress
affine = stress + p_mass * C[p]
# Loop over 3x3 grid node neighborhood
for i, j in ti.static(ti.ndrange(3, 3)):
    offset = ti.Vector([i, j])
    dpos = (offset.cast(float) - fx) * dx
    weight = w[i][0] * w[j][1]
    grid_v[base + offset] += weight * (p_mass * v[p] + affine @ dpos)
    grid_m[base + offset] += weight * p_mass
```

Force Update - impl

- Boundary & external force

```
for i, j in grid_m:
    if grid_m[i, j] > 0: # No need for epsilon here
        grid_v[i, j] = (1 / grid_m[i, j]) * grid_v[i, j]
        grid_v[i, j][1] -= dt * 50 # gravity
        if i < 3 and grid_v[i, j][0] < 0:
            grid_v[i, j][0] = 0 # Boundary conditions
        if i > n_grid - 3 and grid_v[i, j][0] > 0:
            grid_v[i, j][0] = 0
        if j < 3 and grid_v[i, j][1] < 0:
            grid_v[i, j][1] = 0
        if j > n_grid - 3 and grid_v[i, j][1] > 0:
            grid_v[i, j][1] = 0
```

- G2P

```
for p in x: # grid to particle (G2P)
    base = (x[p] * inv_dx - 0.5).cast(int)
    fx = x[p] * inv_dx - base.cast(float)
    w = [0.5 * (1.5 - fx) ** 2, 0.75 - (fx - 1.0) ** 2, 0.5 * (fx - 0.5) ** 2]
    new_v = ti.Vector.zero(float, 2)
    new_C = ti.Matrix.zero(float, 2, 2)
    for i, j in ti.static(ti.ndrange(3, 3)):
        # loop over 3x3 grid node neighborhood
        dpos = ti.Vector([i, j]).cast(float) - fx
        g_v = grid_v[base + ti.Vector([i, j])]
        weight = w[i][0] * w[j][1]
        new_v += weight * g_v
        new_C += 4 * inv_dx * weight * g_v.outer_product(dpos)
    v[p], C[p] = new_v, new_C
    x[p] += dt * v[p] # advection
```

- 演示

Section 5.

Fracture

Phase Field

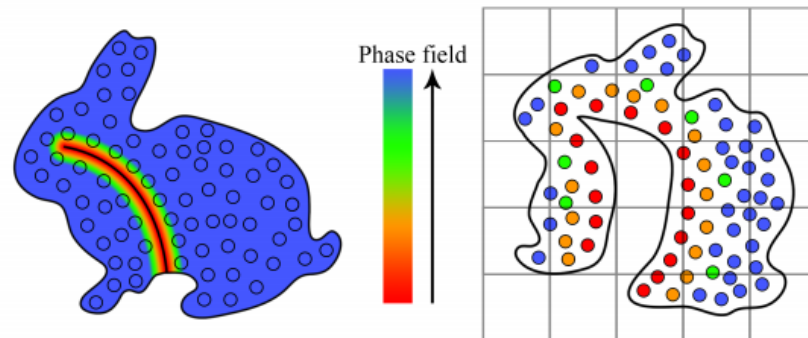
- 从能量说起：假设裂缝区域是 Γ ，那么总体能量是

$$E(\mathbf{F}, \Gamma) = \int_{\Omega^0} \Psi(\mathbf{F}) d\mathbf{X} + \int_{\Gamma} G d\mathbf{X}$$

- 这里的 G 表示单位区域断裂时释放的能量。理论上，这个方程的最小化可以用来预测断裂的演化趋势，但后面那个很难直接求解。
- 基本思路：将右面的积分转换到整个区域上，引入一个 $c(\mathbf{X}, t)$ 表示断裂程度：0表示完全断裂，1表示完全弹性，那么

$$\int_{\Gamma} G d\mathbf{X} = \int_{\Omega^0} \left(\frac{(c-1)^2}{4l_0} + l_0 |\nabla c|^2 \right) G d\mathbf{X}$$

- $c=0$ ，能量变大； $c=1$ ，能量变小；
- ∇c 惩罚变化趋势，尽可能保证变化平缓
- 在MPM中，取 $l_0 = 0.5\Delta x$



Phase Field (Cont.)

- 既然有了这个定义，那么弹性能量也需要加权重来促进材料沿裂纹分离。假如超弹性可以分解成拉伸项 Ψ^+ 和压缩项 Ψ^- ：

$$\Psi(\mathbf{F}) = g(c)\Psi^+(\mathbf{F}) + \Psi^-(\mathbf{F})$$

- 其中， $g(c) = (1 - \varepsilon)c^2 + \varepsilon$ ， ε 用来防止浮点误差。最终，综合上面的定义，得到带有断裂特性的材料本构：

$$\Psi(\mathbf{F}, c) = g(c)\Psi^+(\mathbf{F}) + \Psi^-(\mathbf{F}) + \left(\frac{(c - 1)^2}{4l_0} + l_0|\nabla c|^2 \right) G$$

- 也就是比起传统MPM，只需要用这个来维护 \mathbf{P} 的计算即可。现在还有一个问题：如何定义这里的超弹性模型？分别用剪切和体积项定义，详见Appendix C.

$$\hat{\Psi} = \Psi^\mu(\mathbf{F}) + \Psi^\kappa(J), \Psi^\mu(\mathbf{F}) = \frac{\mu}{2}(\text{tr}(\mathbf{F}^T \mathbf{F}) - d), \Psi^\kappa(J) = \frac{\kappa}{2} \left(\frac{J^2 - 1}{2} - \log J \right)$$
$$\Psi^+ = \begin{cases} \Psi^\mu(J^a \mathbf{F}) + \Psi^\kappa(\mathbf{F}), J \geq 1 \\ \Psi^\mu(J^a \mathbf{F}), J < 1 \end{cases}, \Psi^- = \begin{cases} 0, J \geq 1 \\ \Psi^\kappa(\mathbf{F}), J < 1 \end{cases}, a = -\frac{1}{d}$$

Phase Evolution

- 如何更新下一个时间步的断裂状态 c^{n+1} ?
- 一种简单的作法: 对于每个质点分析, 如果应力超过某个阈值则认为断裂

$$c^{n+1} = \min \left(c^n, 1 - H_s \left(1 - \frac{\sigma_m}{\sigma_f} \right) \right)$$

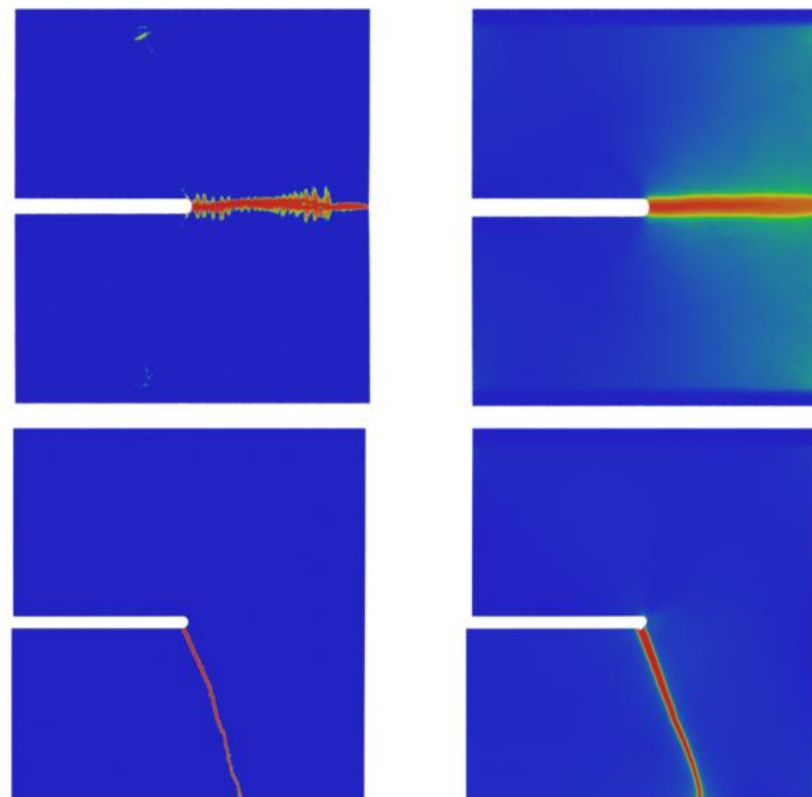
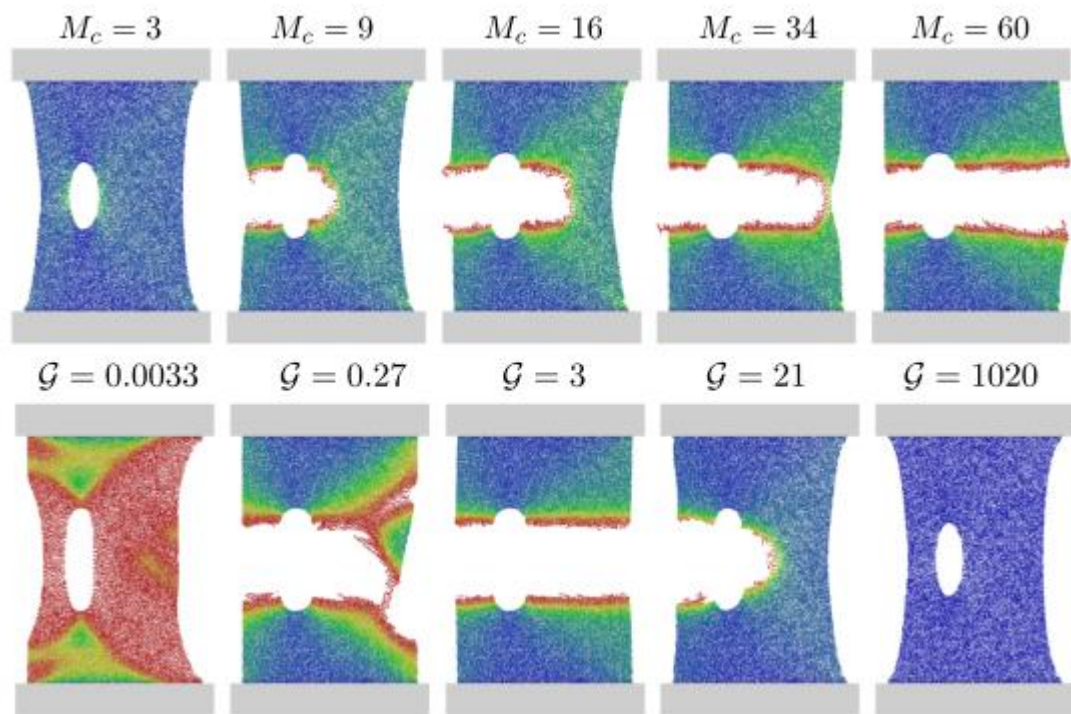
- σ_f 是临界点, H_s 是一个常数。应力越大就越容易断裂
- 问题: 只有局部特征, 没有全局特征
- 解决方案: 建立有关断裂的变分, 使用Euler-Lagarangian方程得到

$$\left(\frac{4l_0 M_c (1-r) \Psi^+}{G} + M_c + \frac{1}{\Delta t} \right) c^{n+1} - (4l_0^2 M_c) \nabla^2 c^{n+1} = M_c + \frac{c^n}{t}$$

- 其中 $M_c = \frac{G}{2R_c l_0}$ 。这样就可以迭代求解。

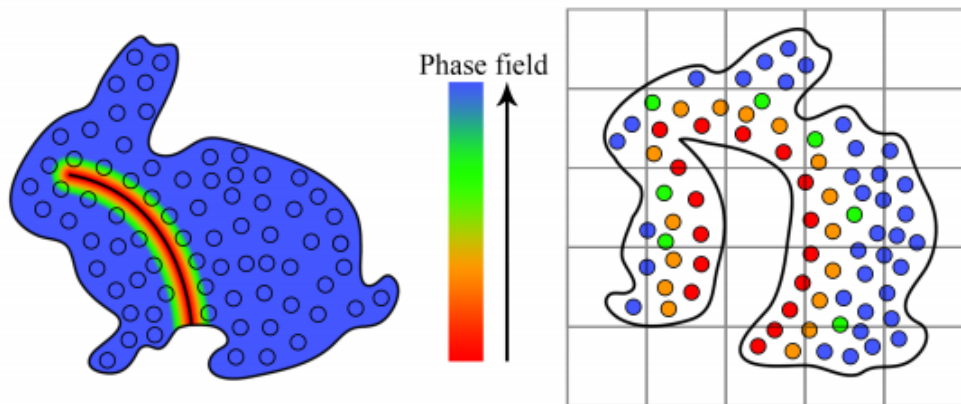
Phase Evolution(Cont.)

- 参数分析: M_c 越大, 越容易断裂; G 影响能量扩散特性
- 对比分析: 更平滑、在低分辨率网格下也可以做的比较好



Phase Field Integration

- 怎么演化？用粒子来携带 c 属性进行正常的MPM操作，类似的PhaseP2G和PhaseG2P



- 使用一阶精度来gather和scatter:
 - P2G: $c_i^n = w_{ip} c_p^n$
 - G2P: $c_p^{n+1} = \max(0, \min(c_p^n, c_p^n + \sum_i (c_i^{n+1} - c_i^n) w_{ip}))$ 【FLIP transfer】
- 最后的问题：在MPM框架下如何计算 c_p^{n+1} ？

Phase Field Integration(Cont.)

- 不加证明的给出结论（啃不动了）：

$$(\mathbf{M} + \mathbf{H})\mathbf{c} = \mathbf{r}$$

- 建立一个线性系统，将 i, j 展平为一个统一的下标

$$M_{ij} = \delta_{ij} \sum_p V_p^n \left(\frac{4l_0 M_c (1-r) \Psi^+}{G} + M_c + \frac{1}{\Delta t} \right) w_{ip}$$

$$H_{ij} = \sum_p V_p^n 4l_0 M_c \left(M_p^{-1} w_{ip}^n (x_{\alpha i} - x_{\alpha p}^n) \right)^T \left(M_p^{-1} w_{jp}^n (x_{\alpha j} - x_{\alpha p}^n) \right)$$

$$r_i = \sum_p V_p^n \left(M_c + \frac{c_p^n}{\Delta t} \right) w_{ip}^n$$

- 用Jacobi作为Preconditioner的共轭梯度求解即可

PFF-MPM Step

Algorithm 1 PFF-MPM Step

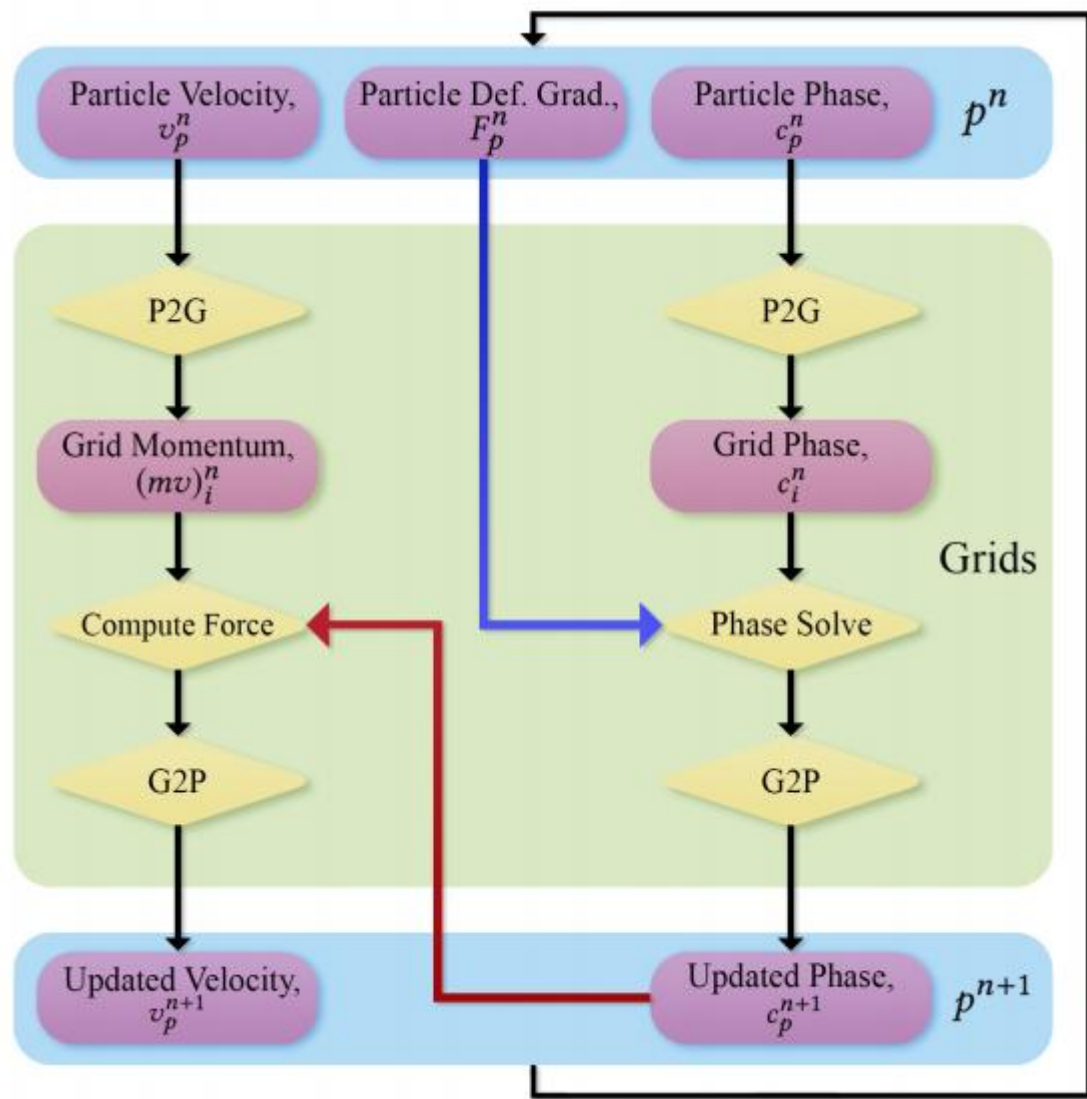
- 1: **procedure** PHASEP2G
 - 2: Compute interpolation weights, w_{ip}^n //We use quadratic B-spline
 - 3: **for** each grid node, i **do**
 - 4: $c_i^n = \frac{\sum_p w_{ip}^n c_p^n}{\sum_p w_{ip}^n}$
 - 5: **procedure** PHASESOLVE
 - 6: //Goal is to construct and solve this system for \mathbf{c} : $(\mathcal{M} + \mathbf{H})\mathbf{c} = \mathbf{r}$
 - 7: $\mathbf{r} = [r_i] = \sum_p V_p^n (M_c + \frac{c_p^n}{\Delta t}) w_{ip}^n$ //Build rhs
 - 8: $\mathbf{H} = [\mathbf{H}_{ij}] = \sum_p V_p^n (4l_0^2 M_c) (\nabla \Theta_i(\mathbf{x}_p^n))^T (\nabla \Theta_j(\mathbf{x}_p^n))$ //Build MPM discrete Laplace operator
 - 9: $\mathcal{M} = [\mathcal{M}_{ii}] = \sum_p V_p^n \left(\frac{4l_0 M_c (1-r) \Psi_p^{\mathcal{H}}}{\mathcal{G}} + M_c + \frac{1}{\Delta t} \right) w_{ip}^n$ //Build diagonal lumped mass matrix
 - 10: Solve the system with PCG (Jacobi preconditioner takes around 4 iters)
 - 11: **procedure** PHASEG2P
 - 12: **for** each particle, p **do**
 - 13: $c_p^{n+1} = \max(0, \min(c_p^n, c_p^n + \sum_i (c_i^{n+1} - c_i^n) w_{ip}^n))$ //Prevent material healing and keep $c \in [0, 1]$
 - 14: Run traditional MPM step as usual until computeForce
 - 15: **procedure** COMPUTEFORCE //Key difference is this incorporates c_p^{n+1}
 - 16: **if** symplectic **then**
 - 17: $\mathbf{f}_i^n = -\sum_p V_p^0 w_{ip}^n M_p^{-1} \frac{\partial \Psi}{\partial \mathbf{F}}(\mathbf{F}_p^n, c_p^{n+1}) \mathbf{F}_p^{nT} (\mathbf{x}_i^n - \mathbf{x}_p^n)$
 - 18: **else if** implicit **then**
 - 19: $\mathbf{f}_i^{n+1} = -\sum_p V_p^0 w_{ip}^n M_p^{-1} \frac{\partial \Psi}{\partial \mathbf{F}}(\mathbf{F}_p^{n+1}, c_p^{n+1}) \mathbf{F}_p^{nT} (\mathbf{x}_i^n - \mathbf{x}_p^n)$
 - 20: Finish MPM step like usual (with or without plasticity return mapping)
-

Section 6.

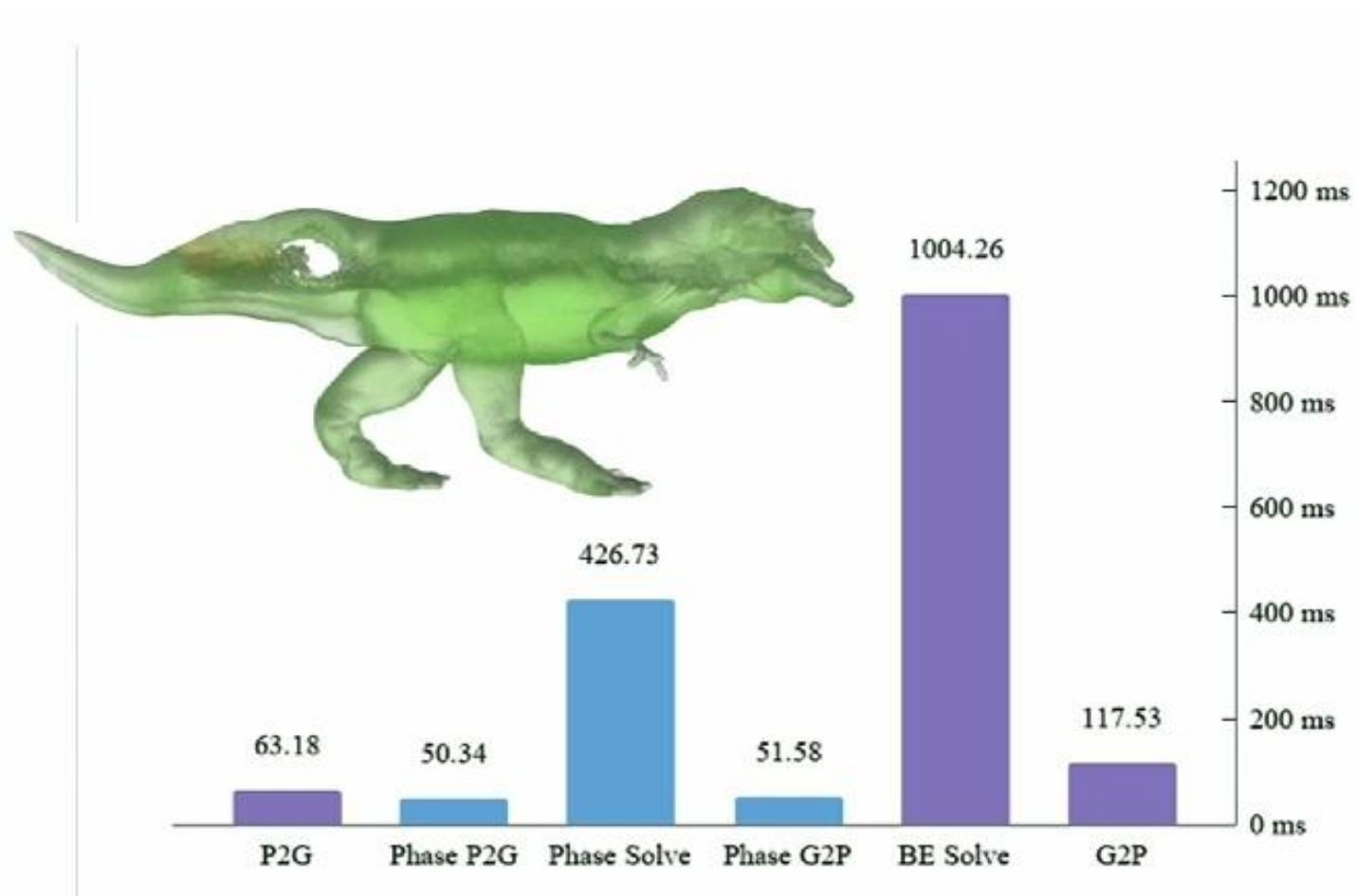
Result

Algorithm in a Nutshell

- 将上述过程嵌入到MPM总过程里有点麻烦，有没有什么好办法？
- 交错求解形变和断裂，一直迭代到收敛即可，一般1-2次就够。



Efficiency



剩下的见视频，来不及截了

Future Works

- 各项异性材质
- 三角网格拉格朗日力
- 流固耦合、IPC结合



Further Materials

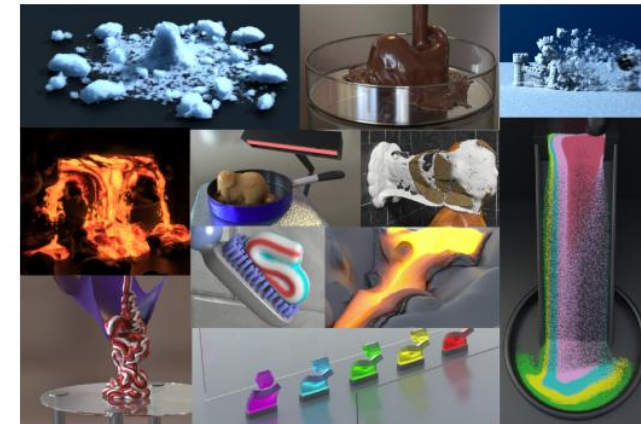
- MPM Course Note
- Strongly Recommend

The Material Point Method for Simulating Continuum Materials

Chenfanfu Jiang^{*1}, Craig Schroeder^{†2}, Joseph Teran^{‡1,3},
Alexey Stomakhin^{§3}, and Andrew Selle^{¶3}

¹Department of Mathematics, University of California, Los Angeles
²Department of Computer Science, University of California, Riverside
³Walt Disney Animation Studios

SIGGRAPH 2016 Course Notes Version 1 (May 2016)



* cffjiang@math.ucla.edu
† snubdodecahedron@gmail.com
‡ jteran@math.ucla.edu
§ alexey.stomakhin@disneyanimation.com
¶ andrew.selle@disneyanimation.com

Permission to make digital or hard copies of part or all of this work for personal or classroom use is granted without fee provided that copies are not made or distributed for profit or commercial advantage and that copies bear this notice and the full citation on the first page. Copyrights for third-party components of this work must be honored. For all other uses, contact the Owner/Author. Copyright is held by the owner/author(s).
SIGGRAPH '16 Courses, July 24-28, 2016, Anaheim, CA.
ACM 978-1-4503-4289-6/16/07.
<http://dx.doi.org/10.1145/2897826.2927348>

Appendix A. Deduction of δP

- 首先要理解一件事：对于矩阵运算，通常无法直接定义导数，可以用变分来代替
- 因此有下面的基础公式：

$$\frac{\partial A}{\partial \mathbf{F}} : \delta \mathbf{F} = \delta A$$

- 这里的 $:$ 表示双线性收缩，相当于对应分量乘法相加。它实际上相当于变分语境下的 $dF(A) = F'(A)dA$ 。同样，如果是一阶PK张量 \mathbf{P} 对矩阵 \mathbf{F} 求导，结果应该是一个高阶张量；但我们仍然通过对应的双线性收缩，将其变换为

$$\frac{\partial^2 \Psi}{\partial \mathbf{F} \partial \mathbf{F}} : \delta \mathbf{F} = \delta \left(\frac{\partial \Psi}{\partial \mathbf{F}} \right) = \delta (2\mu(\mathbf{F} - \mathbf{R}) + \lambda(J - 1)J\mathbf{F}^{-T})$$

- 大多数导数的性质都可以推广到变分上。
- 下面我们来介绍几个重要变分公式。

Appendix A. Deduction of δP (Cont.)

- 几个常用变分结论:

$$(1) \quad \delta \mathbf{F}^{-1} = -\mathbf{F}^{-1} \delta \mathbf{F} \mathbf{F}^{-1}$$

$$(2) \quad \delta \mathbf{F}^T = (\delta \mathbf{F})^T$$

$$(3) \quad \delta \mathbf{F}^{-T} = -\mathbf{F}^{-T} (\delta \mathbf{F})^T \mathbf{F}^{-T}$$

$$(4) \quad \delta J = (J \mathbf{F}^{-T}) : \delta \mathbf{F}$$

- 所以进一步推导:

$$\begin{aligned} & \delta(2\mu(\mathbf{F} - \mathbf{R}) + \lambda(J - 1)J\mathbf{F}^{-T}) \\ &= 2\mu\delta\mathbf{F} - 2\mu\delta\mathbf{R} + \lambda\delta(J - 1)J\mathbf{F}^{-T} + \lambda(J - 1)\delta J\mathbf{F}^{-T} + \lambda(J - 1)J\delta\mathbf{F}^{-T} \\ &= 2\mu\delta\mathbf{F} - 2\mu\delta\mathbf{R} + \lambda(2J - 1)(J\mathbf{F}^{-T} : \delta\mathbf{F}) - \lambda(J - 1)J\mathbf{F}^{-T}(\delta\mathbf{F})^T \mathbf{F}^{-T} \end{aligned}$$

- 现在问题很明确? 怎么求 $\delta\mathbf{R}$? 考虑 \mathbf{R} 本身是QR分解得来的.....

Appendix A. Deduction of δP (Cont.)

$$\delta \mathbf{F} = \delta \mathbf{R} \mathbf{S} + \mathbf{R} \delta \mathbf{S}$$

- \mathbf{R} 是一个正交矩阵， \mathbf{S} 是一个正定矩阵。所以两边同时乘一个 \mathbf{R}^T ：

$$\mathbf{R}^T \mathbf{F} = \mathbf{R}^T \delta \mathbf{R} \mathbf{S} + \delta \mathbf{S}$$

- 问题转换为怎么转化 $\delta \mathbf{S}$ 。考虑 $\mathbf{F} = \mathbf{R} \mathbf{S}$ ，则 $\mathbf{F}^T \mathbf{R} = \mathbf{S}^T \mathbf{R}^T \mathbf{R} = \mathbf{S}^T$ 。考虑 $\delta \mathbf{S}$ 是对称矩阵，则 $\delta \mathbf{S} = \delta \mathbf{S}^T = \delta(\mathbf{F}^T \mathbf{R}) = (\delta \mathbf{F}^T) \mathbf{R} + \mathbf{F}^T \delta \mathbf{R} = \delta \mathbf{F}^T \mathbf{R} + \mathbf{F}^T \delta \mathbf{R}$ 。这里其实类似一个分部积分，我们继续往里变形：

$$\mathbf{R}^T \mathbf{F} - \delta \mathbf{F}^T \mathbf{R} = \mathbf{R}^T \delta \mathbf{R} \mathbf{S} + \mathbf{F}^T \delta \mathbf{R}$$

- 还是没办法求解，再做一步变形： $\mathbf{F}^T = \mathbf{S}^T \mathbf{R}^T = \mathbf{S} \mathbf{R}^T$ 。带进去之后发现上式变成了这样一个形式：

$$\mathbf{R}^T \mathbf{F} - \delta \mathbf{F}^T \mathbf{R} = (\mathbf{R}^T \delta \mathbf{R}) \mathbf{S} + \mathbf{S} (\mathbf{R}^T \delta \mathbf{R})$$

- 这种方程是关于 $\mathbf{R}^T \delta \mathbf{R}$ 李雅普诺夫方程，确实没有直接的解法。但别忘了我们是在一个三维张量下讨论，直接形成一个3x3的线性系统求解即可。最后， $\delta \mathbf{R} = \mathbf{R} (\mathbf{R}^T \delta \mathbf{R})$ 。

Appendix B. A Practical Differential Strategy for Elasticity

- 基于奇异值对求解过程优化。假设 $\mathbf{F} = \mathbf{U}\mathbf{\Sigma}\mathbf{V}^T$ ，我们又知道 $\Psi(\mathbf{F}) = \tilde{\Psi}(\mathbf{\Sigma})$ ，可得到

$$\mathbf{P} = \mathbf{U} \text{diag} \left(\frac{\partial \tilde{\Psi}}{\partial \sigma_i} \right) \mathbf{V}^T$$

- 从直观上理解， \mathbf{U}, \mathbf{V} 都是旋转矩阵，不影响一阶PK张量大小，所以可以等价求解 $\mathbf{\Sigma}$ 。
- 使用该方法对 $\Psi(\mathbf{F}) = \mu(\sigma_i - 1)^2 + \frac{\lambda}{2}(J - 1)^2$ 求解：因为 $J = \sigma_1 \sigma_2 \sigma_3$ ，得到

$$\mathbf{P} = \mathbf{U} \text{diag} \left(2\mu\sigma_i - 2\mu + \frac{\lambda(J - 1)J}{\sigma_i} \right) \mathbf{V}^T$$

- 拆成三项分开计算，即得原来所求的式子：

$$\mathbf{U} \text{diag}(2\mu\sigma_i) \mathbf{V}^T = 2\mu \mathbf{U} \text{diag}(\sigma_i) \mathbf{V}^T = 2\mu \mathbf{F}$$

$$\mathbf{U} \text{diag}(2\mu) \mathbf{V}^T = 2\mu \mathbf{U} \mathbf{V}^T = 2\mu \mathbf{R}$$

$$\mathbf{U} \text{diag} \left(\frac{\lambda J(J - 1)}{\sigma_i} \right) \mathbf{V}^T = \lambda J(J - 1) \mathbf{U} \text{diag} \left(\frac{1}{\sigma_i} \right) \mathbf{V}^T = \lambda J(J - 1) \mathbf{U} \mathbf{\Sigma}^{-1} \mathbf{V}^T = \lambda J(J - 1) \mathbf{F}^{-T}$$

Appendix B. A Practical Differential Strategy for Elasticity

- 接下来讨论如何计算 $\delta \mathbf{P}$ 。我们希望用类似的逻辑，但因为 \mathbf{P} 本身没有分解特性，所以补充两个正交矩阵：

$$\mathbf{P}(\mathbf{F}) = \mathbf{P}(\mathbf{R}\mathbf{R}^T\mathbf{F}\mathbf{Q}\mathbf{Q}^T) = \mathbf{R}\mathbf{P}(\mathbf{R}^T\mathbf{F}\mathbf{Q})\mathbf{Q}^T$$

- 取 $\mathbf{R} = \mathbf{U}$, $\mathbf{Q} = \mathbf{V}$, 那么 $\mathbf{R}^T\mathbf{F}\mathbf{Q} = \mathbf{U}^T\mathbf{F}\mathbf{V} = \mathbf{U}^T\mathbf{U}\boldsymbol{\Sigma}\mathbf{V}^T\mathbf{V} = \boldsymbol{\Sigma}$, 从而

$$\delta \mathbf{P}(\mathbf{F}) = \mathbf{U} \left[\frac{\partial \mathbf{P}}{\partial \mathbf{F}}(\boldsymbol{\Sigma}) : (\mathbf{U}^T \delta \mathbf{F} \mathbf{V}) \right] \mathbf{V}^T$$

- 为了方便，我们用下标表示，得到

$$\delta \mathbf{P}_{ij} = U_{ik} \left(\frac{\partial \mathbf{P}}{\partial \mathbf{F}}(\boldsymbol{\Sigma}) \right)_{klmn} U_{rm} (\delta \mathbf{F})_{rs} V_{sn} V_{jl}$$

根据变分的基本定义，

$$\delta \mathbf{P}_{ij} = \left(\frac{\partial \mathbf{P}}{\partial \mathbf{F}}(\mathbf{F}) \right)_{klmn} (\delta \mathbf{F})_{rs}$$

Appendix B. A Practical Differential Strategy for Elasticity

- 联立上两式，立即得到

$$\left(\frac{\partial \mathbf{P}}{\partial \mathbf{F}}(\mathbf{F}) \right)_{klmn} = \left(\frac{\partial \mathbf{P}}{\partial \mathbf{F}}(\boldsymbol{\Sigma}) \right)_{klmn} U_{ik} U_{rm} V_{sn} V_{jl}$$

- 下面问题就转化成这个奇异值怎么求。考虑罗德里格斯旋转公式：

$$\mathbf{R} = \mathbf{I} + \sin \theta \mathbf{K} + (1 - \cos \theta) \mathbf{K}^2$$

- 说明任何一个旋转都可以用三个参数来参数化。因此， \mathbf{U}, \mathbf{V} 实际上只有三个自由度。因此，我们可以用九个参数对 \mathbf{F} 做重参数化： $(s_1, s_2, s_3, u_1, u_2, u_3, v_1, v_2, v_3)$ 分别代表奇异值和 \mathbf{UV} 的参数。所以我们可以把目标的 $3 \times 3 \times 3 \times 3$ 矩阵转换成一个 9×9 的来处理。
- 根据链式法则：

$$\frac{\partial \mathbf{P}}{\partial \mathbf{F}}(\boldsymbol{\Sigma}) = \frac{\partial \mathbf{P}}{\partial \mathbf{S}}(\boldsymbol{\Sigma}) \frac{\partial \mathbf{S}}{\partial \mathbf{F}}(\boldsymbol{\Sigma})$$

- 并且，上面的过程可以用符号计算软件来求解。以MMA代码为例：

Appendix B. A Practical Differential Strategy for Elasticity

```
1 id=IdentityMatrix[3];
2 var={s1,s2,s3,u1,u2,u3,v1,v2,v3};
3 Sigma=DiagonalMatrix[{s1,s2,s3}];
4 cp[k1_,k2_,k3_]={0,-k3,k2},{k3,0,-k1},{-k2,k1,0};
5 vV={v1,v2,v3};
6 vU={u1,u2,u3};
7 nv=Sqrt[Dot[vV,vV]];
8 nu=Sqrt[Dot[vU,vU]];
9 UU=cp[u1,u2,u3]/nu;
10 VV=cp[v1,v2,v3]/nv;
11 U=id+Sin[nu]*UU+(1-Cos[nu])*UU.UU;
12 V=id+Sin[nv]*VV+(1-Cos[nv])*VV.VV;
13 F=U.Sigma.Transpose[V];
```

通过罗德里格斯旋转公式
计算参数化矩阵

```
1 dFdS=D[Flatten[F],{var}];
```

符号化计算 dF/dS

```
2 dFdSo=dFdS/.{u1->e,u2->e,u3->e,v1->e,v2->e,v3->e};
```

将其中旋转参数都换成 ϵ ，这样旋转几乎为0

```
3 dFdS1=Limit[dFdSo,e->0,Direction->-1];
```

进一步让 $\epsilon \rightarrow +0$ ，求极限

```
4 dSdFo=Inverse[dFdS1];
```

将上述结果变成 dS/dF

```
5 Phat=DiagonalMatrix[{t1[s1,s2,s3],t2[s1,s2,s3],t3[s1,s2,s3]}];
```

求解 $\mathbf{P}(\Sigma)$

```
6 P=U.Phat.Transpose[V];
```

求解 $\mathbf{P}(\mathbf{F})$

```
7 dPdS=D[Flatten[P],{var}];
```

```
8 dPdSo=dPdS/.{u1->e,u2->e,u3->e,v1->e,v2->e,v3->e};
```

求解 dP/dS

```
9 dPdS1=Limit[dPdSo,e->0,Direction->-1];
```

```
10 dPdF=Simplify[dPdS1.dSdFo];
```

求解 dP/dF

Appendix B. A Practical Differential Strategy for Elasticity

- 对2D的情况，只需要参数化成两个旋转度数 θ_1, θ_2 即可

```

1 id=IdentityMatrix[2];
2 var={s1,s2,u1,v1};
3 S=DiagonalMatrix[{s1,s2}];
4 U={{Cos[u1],-Sin[u1]},{Sin[u1],Cos[u1]}};
5 V={{Cos[v1],-Sin[v1]},{Sin[v1],Cos[v1]}};
6 F=U.S.Transpose[V];
7 dFdS=D[Flatten[F],{var}];
8 dFdSo=dFdS/.{u1->e,v1->e};
9 dFdS1=Limit[dFdSo,e->0,Direction->-1];
10 dSdFo=Inverse[dFdS1];
11 Phat=DiagonalMatrix[{t1[s1,s2],t2[s1,s2]}];
12 P=U.Phat.Transpose[V];
13 dPdS=D[Flatten[P],{var}];
14 dPdSo=dPdS/.{u1->e,v1->e};
15 dPdS1=Limit[dPdSo,e->0,Direction->-1];
16 dPdF=Simplify[dPdS1.dSdFo];
    
```

SymPY计算结果

$$\begin{bmatrix}
 \frac{\partial}{\partial s_1}(t_1(s_1, s_2)) & 0 & 0 & \frac{\partial}{\partial s_2}(t_1(s_1, s_2)) \\
 0 & \frac{s_1^2 \cdot t_1(s_1, s_2) - s_2^2 \cdot t_2(s_1, s_2)}{s_1^2 - s_2^2} & \frac{-s_1^2 \cdot t_2(s_1, s_2) + s_2^2 \cdot t_1(s_1, s_2)}{s_1^2 - s_2^2} & 0 \\
 0 & \frac{-s_1^2 \cdot t_2(s_1, s_2) + s_2^2 \cdot t_1(s_1, s_2)}{s_1^2 - s_2^2} & \frac{s_1^2 \cdot t_1(s_1, s_2) - s_2^2 \cdot t_2(s_1, s_2)}{s_1^2 - s_2^2} & 0 \\
 \frac{\partial}{\partial s_1}(t_2(s_1, s_2)) & 0 & 0 & \frac{\partial}{\partial s_2}(t_2(s_1, s_2))
 \end{bmatrix}$$

Appendix C. Modified Neo-Hookean

- 先列出这一模型的公式：

$$\begin{aligned}\hat{\Psi} &= \Psi^{\mu}(\mathbf{F}) + \Psi^{\kappa}(J) \\ \Psi^{\mu}(\mathbf{F}) &= \frac{\mu}{2} (\text{tr}(\mathbf{F}^T \mathbf{F}) - d) \\ \Psi^{\kappa}(J) &= \frac{\kappa}{2} \left(\frac{J^2 - 1}{2} - \log J \right)\end{aligned}$$

- 这里 $\kappa = \frac{2}{3}\mu + \lambda$ 表示体积模量。对弹性梯度做如下分解：

$$\mathbf{F} = \mathbf{F}^{dev} \mathbf{F}^{vol} = (J^a \mathbf{F}) \cdot (J^{-a} \mathbf{I})$$

- 其中, $a = -1/d$, dev表示形状的拉伸和扭曲, 不涉及体积变化; vol表示体积变化。
- 为什么要这么分解? 因为无形变的时候我们希望

$$|J^a \mathbf{F}| = 1 \Rightarrow J^{ad} |\mathbf{F}| = 1 \Rightarrow J^{ad+1} = 0 \Rightarrow a = -1/d$$

- 也就是此时构造的新参量 $J^a \mathbf{F}$ 是不涉及形变的。这样, 我们可以将原式改写成

$$\hat{\Psi} = \Psi^{dev}(J^a \mathbf{F}) + \Psi^{vol}(J)$$

Appendix C. Modified Neo-Hookean

- 下面开始对Kirrhoff张量进行推导。首先计算 \mathbf{P}_{dev}

$$\mathbf{P}_{dev} = \frac{\partial \Psi^{dev}}{\partial \mathbf{F}} \Big|_{J^a \mathbf{F}} : \frac{\partial J^a \mathbf{F}}{\partial \mathbf{F}}$$

- 第一项可以直接求导，结果是 $\mu \mathbf{F}$ 。第二项比较抽象，我们知道它会是个四阶的张量：

$$\frac{\partial J^a \mathbf{F}}{\partial \mathbf{F}} = \mathbf{F} \otimes \frac{\partial J^a}{\partial \mathbf{F}} + J^a \mathbf{I}^{4th} = J^a (a \mathbf{F} \otimes \mathbf{F}^{-T} + \mathbf{I}^{4th})$$

- 综合上两项，得到

$$\mathbf{P}^{dev} = \mu J^a \mathbf{F} : J^a (a \mathbf{F} \otimes \mathbf{F}^{-T} + \mathbf{I}^{4th}) = \mu J^{2a} (a \mathbf{F} : \mathbf{F} \otimes \mathbf{F}^{-T} + \mathbf{F})$$

- 从而，Kirrhoff张量 $\tau_{ij}^{dev} = P_{ik}^{dev} F_{jk} = \mu J^{2a} (a F_{kl} F_{kl} \delta_{ij} + F_{ik} F_{jk})$ 。考虑 $F_{ik} F_{jk} = b_{ij}$ ，即左Cauchy张量，再带入 $a = -1/d$ ，得到

$$\tau_{dev} = \mu J^{-\frac{2}{d}} \left(\mathbf{b} - \frac{1}{d} tr(\mathbf{b}) \mathbf{I} \right) = \mu J^{-\frac{2}{d}} dev(\mathbf{b})$$

- 这里dev是一个新定义的算符，定义如上。

Appendix C. Modified Neo-Hookean

- 对Volume项推导则比较直接：

$$\mathbf{P}_{vol} = \frac{\Psi^{vol}(J)}{\partial \mathbf{F}} = J\Psi^{vol'}(J)\mathbf{F}^{-T}$$
$$\boldsymbol{\tau}_{vol} = J\Psi^{vol'}(J)\mathbf{I}$$

- 把两项综合起来，得到

$$\boldsymbol{\tau} = \mu J^{-\frac{2}{d}} \text{dev}(\mathbf{b}) + J\Psi^{vol'}(J)\mathbf{I}$$

- 且容易发现 $\text{dev}(\boldsymbol{\tau}) = \boldsymbol{\tau}_{dev}$ 。
- 最后，我们不加证明的写出 $\delta \mathbf{P}^{dev}$ 和 $\delta \mathbf{P}^{vol}$ 的形式：

$$\begin{aligned}\delta \mathbf{P}^{dev} &= 2a\mu J^{2a} \mathbf{F}^{-T} : \delta F (a\mathbf{F} : \mathbf{F}\mathbf{F}^{-T} + \mathbf{F}) \\ &\quad + \mu J^{2a} (2a\mathbf{F} : \delta \mathbf{F}\mathbf{F}^{-T} - a\mathbf{F} : \mathbf{F}(\mathbf{F}^{-1}\delta \mathbf{F}\mathbf{F}^{-1})^T + \delta \mathbf{F}) \\ \delta \mathbf{P}^{vol} &= \delta (J\Psi^{vol'}(J)\mathbf{F}^{-T}) \\ &= \delta J\Psi^{vol'}(J)\mathbf{F}^{-T} + J\delta(\Psi^{vol'}(J))\mathbf{F}^{-T} + J\Psi^{vol'}(J)\delta(\mathbf{F}^{-T}) \\ &= \delta J\Psi^{vol'}(J)\mathbf{F}^{-T} + J\delta J\Psi^{vol''}(J)\mathbf{F}^{-T} + J\Psi^{vol'}(J)\delta(\mathbf{F}^{-T})\end{aligned}$$